

Betriebstechnisches - Büro Nr. 870 (O. Bock)

2

Wärmetechnische Untersuchungen
und Bestimmung des Widerstandes
für verschiedene Flüssigkeiten am Einheits-Kühler.

Bericht
von
Josenhans / Amon

Hydrierung
Leuna-Werke, d. 5.3.1931

20017

I n h a l t

A) <u>Einleitung</u>	<u>Seite</u>
Es wird ausgehend von Nachteilen der bis jetzt gebräuchlichen Bündelkühler mit Schikanen- Blöcken die Konstruktion eines neuen Wärme- austauschertyps des Einheitskühlers, begründet.	3 - 4
B) <u>Teil I</u>	
a) Beschreibung der Konstruktion des Einheits- kühlers unter Anführung der baulichen wie wärmetechnischen Vorteile	5 - 8
b) Zweck der wärmetechnischen Untersuchungen an der Neu Konstruktion und Beschreibung der Versuchs Apparatur	9 - 16
c) Durchführung der Versuche und Art der Auswertung der Versuchsergebnisse	17 - 18
D) <u>Teil II</u>	
Versuchsergebnisse in tabellarischer und graphischer Darstellung	19 - 54
E) <u>Teil III</u>	
Kritische Betrachtung der gefundenen Wider- stands- und Wärmeübergangswerte und Ent- wicklung allgemein gültiger Gleichungen	55 - 78
a) Widerstand	
b) Wärmeübergang	
F) <u>Zusammenfassung</u>	78 - 83
G) <u>Literaturangabe</u>	84

Zusammenstellung

der physikalisch-technischen Bezeichnungen-Bedeutungen-

P	qm	Kühl- bzw. Heißfläche
f	qm	Strömungsquerschnitt
i		innen
a		außen
d	m	Rohrdurchmesser
l	m	Rohrlänge
P	$mm\text{ Hg}$	Druck
ΔP	$mm\text{ Hg}$	Druckdifferenz
ρ	$mm\text{ Hg}$	Widerstand
w	m/s	Geschwindigkeit
		w_i durch das Bündel
		w_a um das Bündel
	kg/cbm	Spezifisches Gewicht
	kg/l	
	$kg\text{ s/m}^2$	absolute Zähigkeit
	qm/s	kinematische Zähigkeit
	m/s^2	Erdbeschleunigung
	kg/s^2	Dichte
	m^4	
t, T	$^{\circ}\text{C}$	Temperaturen
	<u>kcal</u>	Wärmeleitfähigkeit bzw. Rohreibungszahl
$a = \frac{1}{cp}$	$m^{\circ}\text{C h}$	Temp. Leitfähigkeit
cp	m^2/h	
cp	<u>kcal</u>	Spez. Wärme für konstanten Druck
	$kg\text{ }^{\circ}\text{C}$	
	<u>kcal</u>	Wärmetübergangszahl
	$qm^{\circ}\text{C h}$	(i = innen a = außen)
K	<u>kcal</u>	Wärmedurchgangszahl
	$qm^{\circ}\text{C h}$	
Q	<u>kcal</u>	Wärmemenge
	h	Stunde
	sec, s	Sekunde
$R = \frac{w d}{d}$		Reynoldssche Zahl
$Pe = \frac{w d}{a}$		Péclet'sche Zahl
$f ()$		Funktion von
n, m		Exponenten.

Wärmetechnische Untersuchungen und Bestimmung
des Widerstandes für verschiedene Flüssigkeiten am Ein-
heits-Kühler.

Einleitung

In der chemischen Industrie tritt häufig das Problem auf, Gase und insbesondere Flüssigkeiten aufzuwärmen oder abzukühlen. Beim Wärmeaustausch zwischen Gasen verwendete man bisher fast ausschließlich Rohrbündel-Austauscher von einer üblichen Länge von 3 bis 4 m, deren Rohre in zwei Rohrböden dicht eingesetzt sind. Der Weg um das Bündel ist mit Schikanenblechen ausgerüstet. Die Länge von 3 bis 4 m kann nicht wesentlich überschritten werden wegen der Wärmespannungen, die zwischen den Austauschrohren und dem Mantel auftreten. Bei diesen Kühler kommt man bei Durchsatz von Gasen meist zu genügend hohen Geschwindigkeiten, so daß der Wärmeaustausch befriedigend ist.

Wesentlich ungünstiger wird jedoch die Verwendung dieser Kühler bei Wärmeaustausch zwischen Flüssigkeiten. Infolge der hohen Wärmekapazität der Flüssigkeiten ist zur Erreichung eines genügend hohen Regenerationswirkungsgrades ohne Vergrößerung der Heizfläche die Durchsetzmenge nach oben hin begrenzt. Dazu kommt, daß selbst bei maximal zulässigem Durchsatz die Produktgeschwindigkeit in dieser Apparatur noch tief im laminaren Gebiet liegt und damit bekanntlich mit nur niedrigen Wärmeübergangs-zahlen gerechnet werden kann. Die spez. Leistung des Apparates wird demnach schlecht. Die geometrische Form dieser Kühler ist fast immer mehr oder weniger ungeeignet zum Wärmeaustausch zwischen Flüssigkeiten.

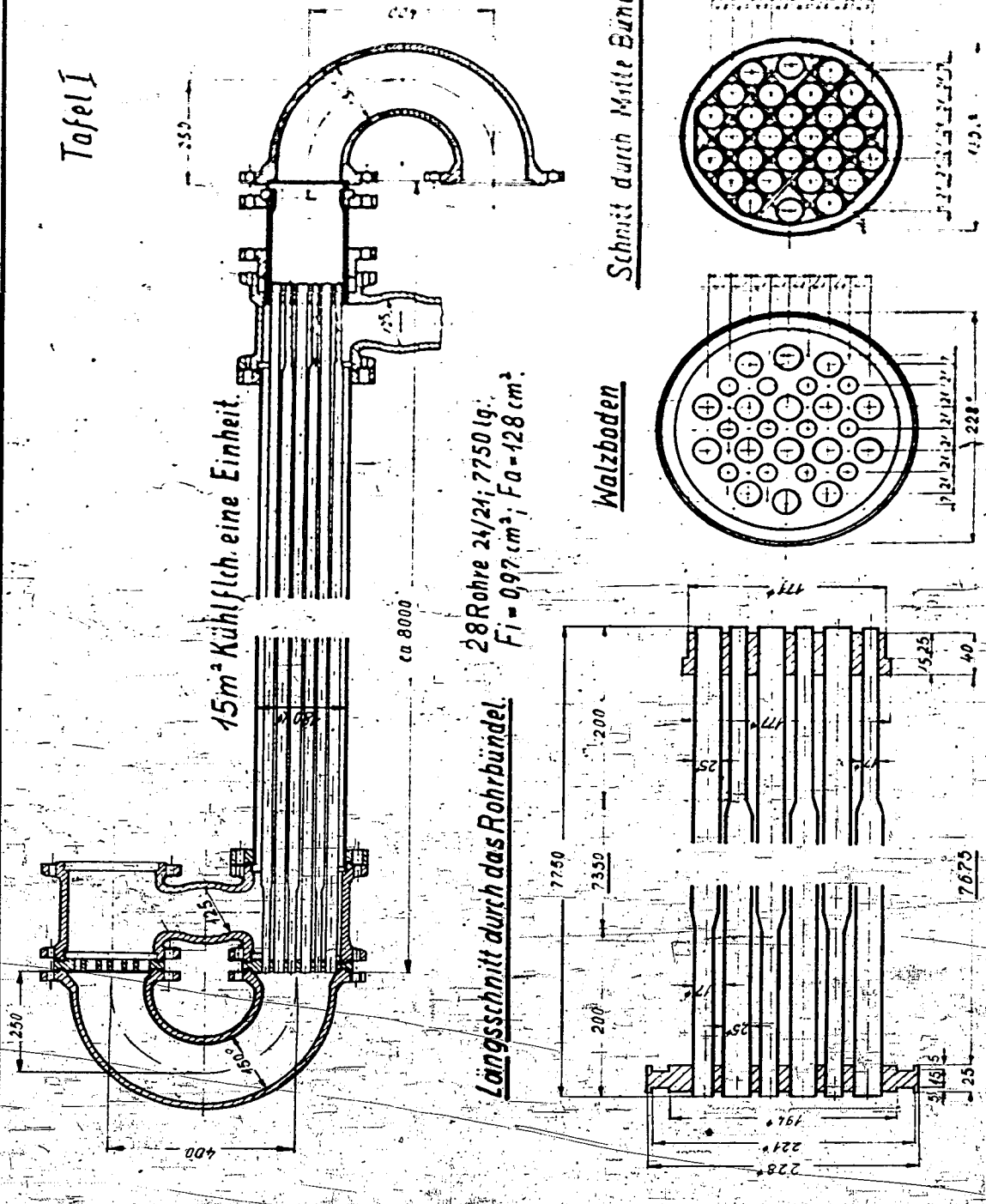
20020

- 4 -

Es wurde deshalb ein Apparat eigens zu diesem Zweck und speziell zum Wärmeaustausch zwischen Ölen entwickelt, der in hohem Maße den Forderungen, die man an ihn stellen muß, Rechnung trägt.

Dieser Apparat kann ebenso gut zum Kühlen von Gasen, besonders wenn dieselben unter höherem Druck stehen, z.B. als Zwischenkühler für Kompressoren, Verwendung finden.

Tafel I



Teil I.

Konstruktion des Kühlers.

Tafel I.

Der Wärmeaustauscher besteht aus einer beliebigen Anzahl von völlig gleichen Kühler-Elementen, die durch Guß- Krümmer bzw. Guß- Übergangsstücke miteinander verbunden sind, die Elemente kann man je nach Bedarf in beliebiger Weise hintereinander oder parallel schalten entsprechend dem zulässigen Widerstand und dem gewünschten Wärmeübergang. Hierbei ist die Flüssigkeits- Geschwindigkeit so zu wählen, daß sie über der kritischen Geschwindigkeit liegt.

Ein Rohrbündel besteht aus 28 Rohren, 21 mm l.W. und 24 mm Außen- Durchmesser. Die lichte Weite ist die kleinstmögliche, welche eine innere Reinigung der Rohre von etwa angesetztem Kesselstein durch den Devoorde- Apparat noch zuläßt. Der äußere Querschnitt ist um 30% größer als derjenige innerhalb der Rohre. Die Rohre müssen deshalb äußerst dicht nebeneinander liegen. Um dies zu erreichen, ist in jedem Rohrboden je die Hälfte der Rohre auf 14 mm l.W. eingezogen, Schikanenbleche sind wegen des geringen Querschnitts auf der Außen-Seite nicht vorhanden, dagegen ist durch Flacheisen- Beilagen zwischen den Rohren dafür gesorgt, daß die Rohre auf der ganzen Länge parallel liegen müssen und nicht durchhängen können. Der eine Rohrboden ist zwischen Umlaufungs- Stück und Krümmer fest eingespannt, während der andere an einer Stopfbüchse verschiebbar angeordnet ist, um Wärmedehnungen, die zwischen den Bündelrohren und dem Mantelrohr auftreten, Rechnung zu tragen. Die Stopfbüchse ist so

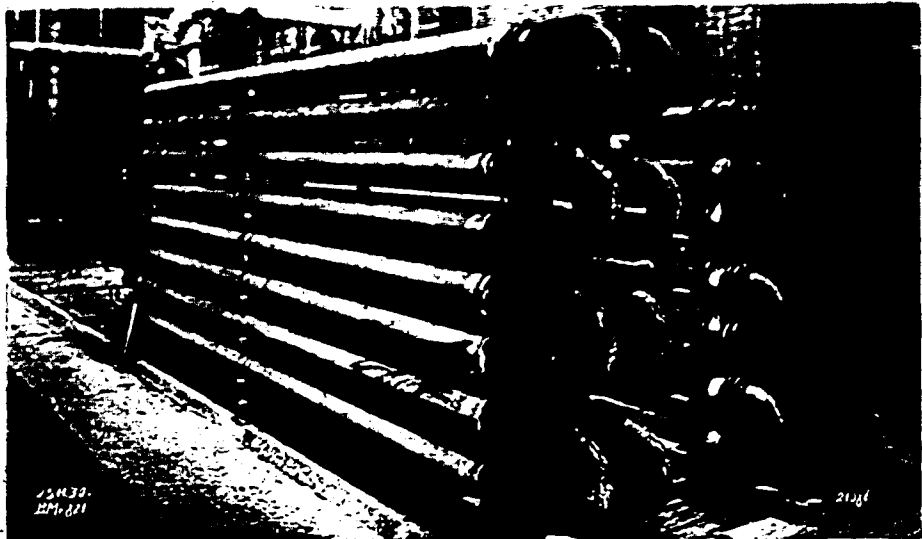
20023

konstruiert, daß im Falle einer Undichtigkeit diese nach außen zu auftritt, wodurch eine Verbindung zwischen dem Außen- und Innenraum ausgeschlossen ist. Diese kann nur auftreten, wenn die Rohre im Rohrboden undicht werden.

Die Übergangsstücke und Doppelkrümmer bestehen aus dichtem, homogenen Elektro-Grauguß und sind nach hydraulischen Grundsätzen ausgebildet, sodaß der Widerstand auf ein Minimum gebracht wird.

Die Vorteile dieser Konstruktion gegenüber der bisher üblichen sind kurz zusammengefaßt folgende:

- 1.) Beliebige Zusammensetzung des Kühlers.
- 2.) Hohe Geschwindigkeit und dadurch hoher Wärmetübergang.
- 3.) Hohe Wassergeschwindigkeit im Kühler, es wird dadurch die Sauerstoffabscheidung an der Rohrwand weitgehend vermieden, wodurch die Wasserkorrosion der Rohre nur sehr gering sein dürfte.
- 4.) Ausziehbarkeit des Bündels, leichtes Reinigen auf beiden Rohrseiten. Bei Reparatur nur Auswechslung eines Teiles der gesamten Kühlfläche.
- 5.) Freie Wärmedehnungsmöglichkeit des Bündels.
- 6.) Geringer Platzbedarf des Austauschers.



Durch das Fehlen der Schikanenbleche wird reiner Parallelstrom der zum Wärmeaustausch gelangenden Medien erzielt. Es werden dadurch tote Räume, wie sie bei Schikanenführung auftreten können, vermieden. Es steigt dadurch der Ausnutzungsgrad der Fläche und damit eventuell die Wärmeleistung der Apparatur.

Beobachtungen, die man an beiden Kühlerarten im Betrieb gemacht hat, scheinen dies zu bestätigen. Die Klärung, inwieweit diese Beobachtungen stimmen, wäre wünschenswert und Stoff einer weiteren Forschungsarbeit.

Zweck der Untersuchungen und Beschreibung der Versuchsanlage.

Die Aufgabe der Untersuchungen war, die Leistungsfähigkeit der neu- Konstruktion für verschiedene Ölsorten und Öldurchsätze zu prüfen und die Widerstände zu bestimmen.

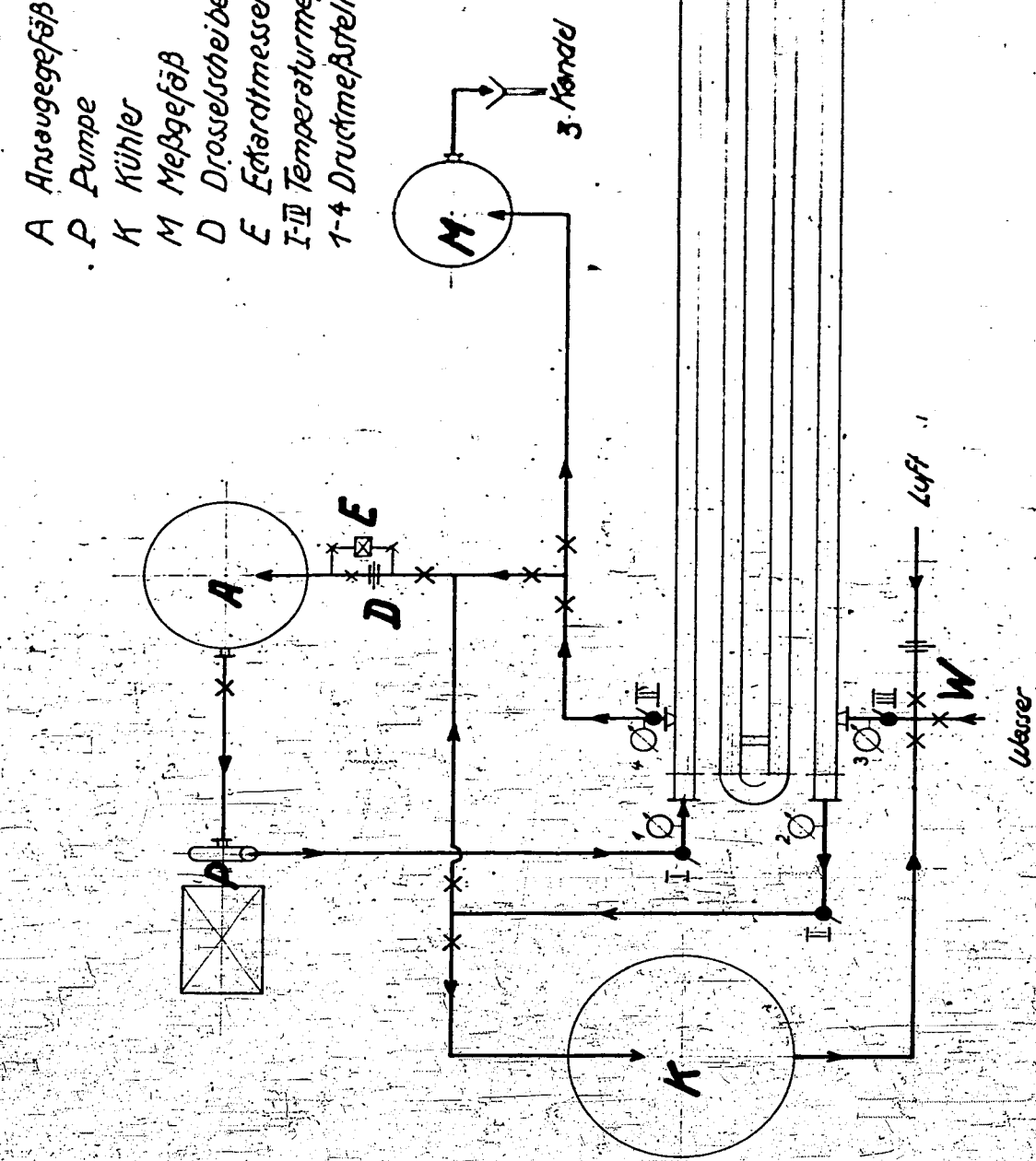
Es wurde zu diesem Zweck eine Versuchs- Apparatur aufgebaut, wie sie auf Tafel II skizziert ist.

Die Schaltung wurde so gewählt, daß die Apparatur sowohl als Kühler gefahren werden als auch als Regenerator arbeiten konnte.

Im ersten Fall saugt die Kreiselpumpe P das Produkt aus dem Gefäß A, das mit Heisschlangen versehen ist, an und drückt es durch den Innenweg der vier liegenden Bündel in die Blase A zurück. Das Kühlwasser vom Ventil W wird dem Produkt um das Bündel entgegengeführt und läuft über das Meßgefäß M ab.

Im zweiten Fall kehrt das Produkt, nachdem es den Innenweg der Bündel passiert hat, nicht direkt in die Blase zurück, sondern nimmt erst seinen Weg über den Kühler K und läuft ab gekühlt dem warmen Produkt auf dem Weg um das Bündel entgegen.

A Ansauggefäß
P Pumpe
K Kühler
M Meßgefäß
D Drosselscheibe
E Eindringmesser
I-II Temperaturmeßstellen
1-4 Druckmeßstellen



Meß-Einrichtungen.

Die Drücke wurden an den jeweils angegebenen Punkten mit Quecksilber-Säule gemessen und zwar waren die Manometer so angeordnet und gefüllt, daß in der Nullstellung, die auf dem Quecksilber ruhende Wassersäule bei allen Manometern gleich war. Durch diese Anordnung können die Fehler, die durch die Beeinflussung der verschiedenen großen Wassersäulen, die während des Versuchs auf den einzelnen Quecksilbersäulen lasten, am einfachsten eliminiert werden.

Der wirkliche Druckverlust zwischen zwei Meßstellen errechnet sich auf diese Weise zu

$$P' = P_1 - \frac{P_1 - P_2}{2 \times 13,6}$$

wenn P_1 und P_2 die gemessenen Drücke sind.

Zur Temperaturmessung waren geeichte Thermometer eingebaut mit

1°/10 Einteilung. Die Thermometer waren in direkter Berührung mit dem zu messenden Medium und so weit eingesteckt, daß der Einfluß des herausragenden Hg-Fadens im Hinblick auf die Genauigkeit der übrigen Messungen vernachlässigt werden konnte. Aus dem gleichen Grunde wurde von einer Isolation der Versuchsausrüstung abgesehen, zumal

die mittlere Versuchstemperatur nie wesentlich über 50° C lag und das kältere Produkt der abkühlenden Außenluft am nächsten geführt wurde.

Zur Volumenmessung standen eine abgerundete I.G. Drosselscheibe D, ein Eckardtmesser E und ein geeichtes Maßgefäß M zur Verfügung. Während der Dauer der einzelnen Versuche wurde hauptsächlich die Drosselscheibe, um die Stöße des Eckardtmessers zu vermeiden, benutzt, die jedoch vor jedem Versuch auf die Genauigkeit ihrer Anzeige für das jeweilige Produkt mittels der beiden anderen Geräte geprüft wurde.

Bestimmung der übrigen zur Auswertung nötigen physikalischen Größen:

Angaben über Zähigkeiten, spezifisches Gewicht, und Wasser-Gehalt der Öle wurden, soweit sie nicht in den Handbüchern gefunden werden konnten, auf die gebräuchliche Art bestimmt. Die Bestimmung der Zähigkeit geschah für die beiden zähesten Öle mit dem Engler-Viskosimeter, die der übrigen Medien wurde nach der Kappilar-Methode vorgenommen.

Diese Messungen wurden durch das chemische Laboratorium Me 24 ausgeführt. Die Werte für die einzelnen Medien sind kurvenmäßig in Abhängigkeit der Temperatur auf Tafel III aufgetragen.

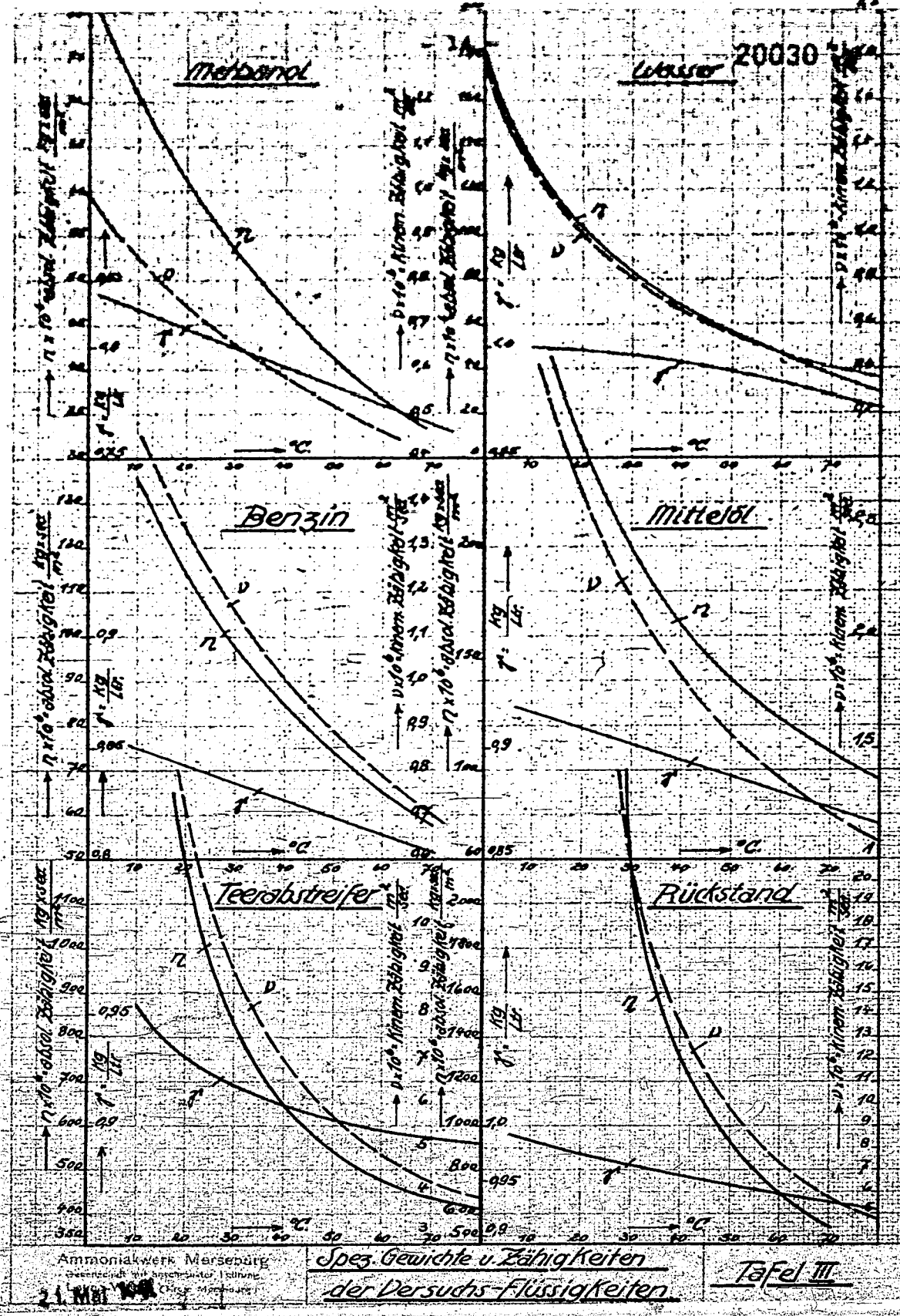
- 20029

- 13 -

Um in dieser Beziehung für die Versuchsauswertung brauchbare Werte zu bekommen, war es vor allem nötig, richtige Durchschnittsproben der gefahrenen Medien zu erhalten.

Es wurden deshalb von jedem Medium, nachdem der Versuch einige Zeit in Gang gekommen war, auf der Druckseite der Kreiselpumpe zu verschiedenen Zeiten Proben entnommen und die Gesamtproben, ca. 2 Liter, zur Untersuchung gegeben.

Außerdem sind zur Orientierung über die Größenordnung der spez. Wärmen und der Wärmeleitfähigkeit von Ölen in Abhängigkeit der Temperatur Tafel IV und V beigegeben. Die Werte sind nach Näherungsformeln, die das Bureau of Standards veröffentlichte, errechnet.



22 April 1980

05

04

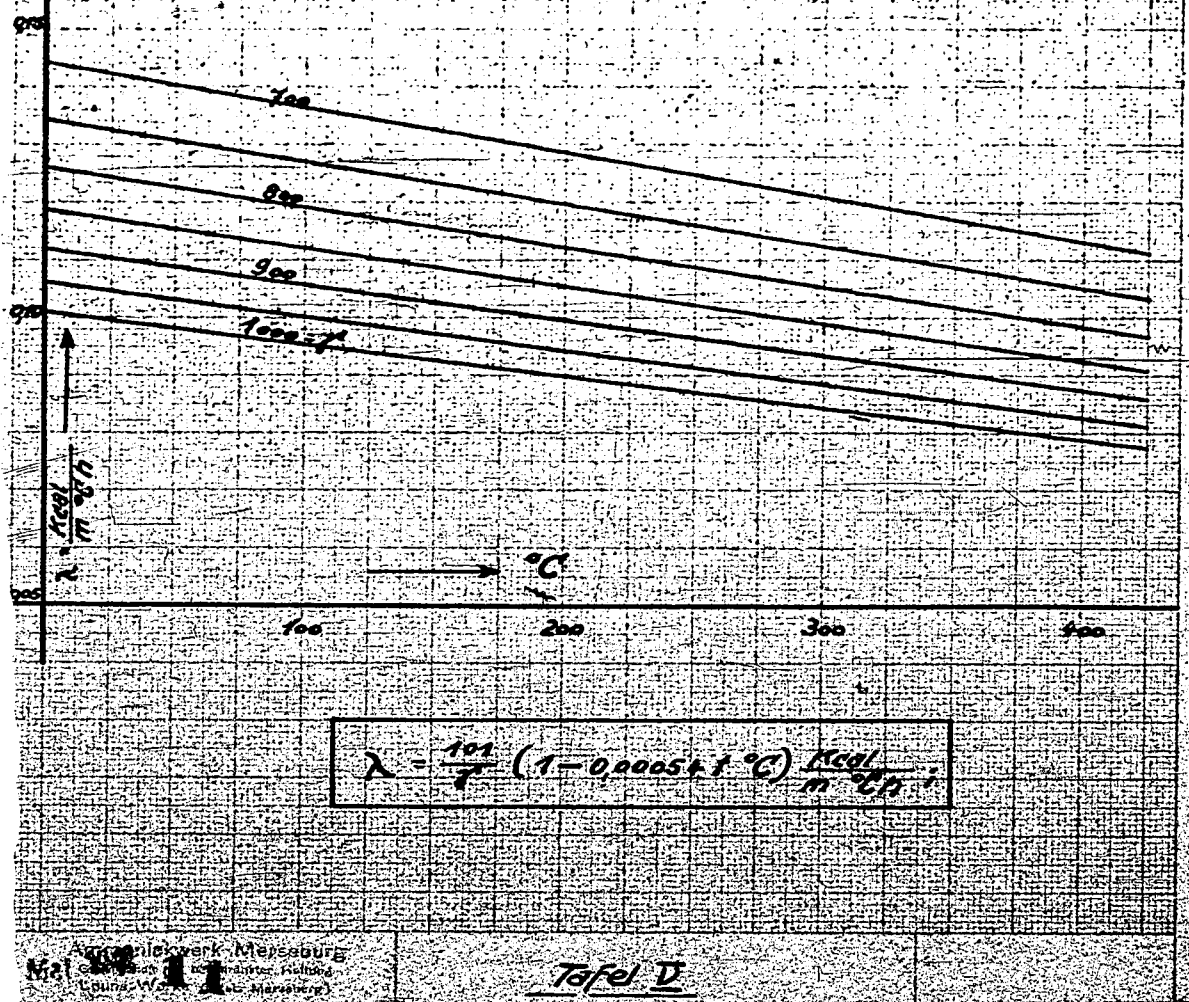
1000 1100 1200 1300 1400 1500 1600 1700 1800 1900 2000 2100 2200 2300 2400 2500 2600 2700 2800 2900 3000 3100 3200 3300 3400 3500 3600 3700 3800 3900 4000 4100 4200 4300 4400 4500 4600 4700 4800 4900 5000 5100 5200 5300 5400 5500 5600 5700 5800 5900 6000 6100 6200 6300 6400 6500 6600 6700 6800 6900 7000 7100 7200 7300 7400 7500 7600 7700 7800 7900 8000 8100 8200 8300 8400 8500 8600 8700 8800 8900 9000 9100 9200 9300 9400 9500 9600 9700 9800 9900 10000

300
200
100
0

0°C

$$CD = \frac{31.5}{T} (0.403 + 0.00017^{\circ}\text{C})$$

Wahre Wärmeleitfähigkeit
von Erdölen
nach Veröffentlichungen
des Bureau of Standards Pt. 97/1927.



- 17 -

Durchführung der Versuche und
Art der Auswertung der Versuchsergebnisse.

Die Reihenfolge der Versuche war festgelegt durch die großen Unterschiede der Öle in Bezug auf ihre Zähigkeit und der damit verbundenen Verschmutzung der Apparatur. Da die Zeit, die Apparatur nach jedem Versuch gründlich zu reinigen, nicht zur Verfügung stand, wurde mit dem leichtflüssigsten Medium begonnen. Die Volumenmessung geschah während der Versuche mittels der Drossel D, deren Anzeige für jedes Medium vor dem Versuch mit dem Eokardtmesser geprüft wurde. Die Kühlwassermessung wurde mit dem geeichten Maßgefäß M vorgenommen.

Mit den Widerstandsmessungen wurden gleichzeitig die Temperaturen zur Bestimmung der Wärmedurchgangszahlen gemessen. Der Kühlerversuch lief dem Regeneratorversuch für jedes Öl voraus, um die spezifischen Wärmen der Öle, die zur Durchführung der Regenerationsversuche notwendig sind, zu ermitteln.

- 18 -

Zur Ermittlung der Wärme-Durchgangs- und Übergangswerte ist zu erwähnen, daß in Folgendem alle Wärmedurchgangszahlen auf die innere Fläche des Rundels bezogen sind.

Die Übergangswerte der Regenerationsversuche wurden mit Hilfe folgender Überlegung errechnet.

Unter Vernachlässigung des Wärmewiderstandes der Rohrwandung, der unter 1 % beträgt, gilt die Gleichung:

$$K = \frac{1}{\frac{1}{F_i} + \frac{1}{F_a}} \frac{\text{kcal}}{\text{m}^2 \text{ °C h}}$$

ist dann

$$F_i = F_a \text{ und } \alpha_i = \alpha_a, \text{ so wird } K = \frac{\alpha}{Z}$$

In vorliegenden Fällen ist weder $F_i = F_a$ noch die Geschwindigkeit $w_i = w_a$. Es muß deshalb sowohl eine Korrektion in Bezug auf die Fläche als auch auf die Geschwindigkeit vorgenommen werden
Kühlfläche: $F_i = 14 \text{ qm}$, $F_a = 16 \text{ qm}$,

Durchtritts-Querschnitt: $f_i = 0,0097 \text{ qm}$, $f_a = 0,0128 \text{ qm}$, daraus ergibt sich:

$$\text{Heizflächenkorrektion } \frac{16}{14} \cdot i = \frac{1}{a} = 1,14 \alpha_i$$

$$\text{Geschwindigkeitskorrektion } 0,8 \cdot \left(\text{der Geschwindigkeitsexponent angenommen zu } \frac{128}{97} \right) \cdot a = \frac{1}{i} = 1,25 \alpha_i$$

$$\text{Zusammen } 2,25 \alpha_a = 2,14 \alpha_i$$

$$i = 1,05 \alpha_a$$

$$K = \frac{1}{\frac{1}{1,05 \alpha_a} + \frac{1}{\alpha_a}} \text{ daraus } i = 2,05 \text{ K} \frac{\text{kcal}}{\text{m}^2 \text{ °C h}}$$

Teil II.Versuchsanordnungen und Ergebnisse.Reihenfolge der Versuche.

- A) Wasser a) Wasser durch das Bündel
 Wasser um das Bündel
- B) Methanol a) Methanol durch das Bündel
 Wasser um das Bündel
 b) Methanol durch das Bündel (Bei 17° C nur
 Wasser um das Bündel zur Widerst.-
 -Methanol um das Bündel Bestimmung.)
- C) Schwerbenzin a) Benzin durch das Bündel
 Wasser um das Bündel
 b) Benzin durch das Bündel
 Benzin um das Bündel
- D) Mittelöl a) Mittelöl durch das Bündel
 Wasser um das Bündel
 b) Mittelöl durch das Bündel
 Mittelöl um das Bündel
- E) Teerabstr. a) Abstreifer durch das Bündel
 Wasser um das Bündel
 b) Abstreifer durch das Bündel
 Abstreifer um das Bündel
- F) Rückstand a) Rückstand durch das Bündel
 Wasser um das Bündel
 b) Rückstand durch das Bündel
 Rückstand um das Bündel

Die Versuche wurden alle mit Ausnahme von Bb) mit Temperaturen zwischen 40 und 60° C durchgeführt.

Unterlagen von Versuch Aa

Wasser durch das Bündel
Wasser um das Bündel

Gr.	Meßstelle I			Meßstelle II			Meßstelle III			Meßstelle IV			Meßstelle innen			Meßstelle außen			Bem.
	mm Hg	°C	mm Hg	°C	mm Hg	°C	mm Hg	°C	mm Hg	°C	mm Hg	°C	mm Hg	°C	mm Hg	°C	mm Hg	°C	
1	405	69,4	331	36,8	142	25,2	95	-57,8	19,8	19,8	57,8	19,8	19,8	19,8	19,8	19,8	19,8	19,8	Appar-
2	624	66,4	595	35,5	258	24,2	185	54,8	26,25	26,25	54,8	26,25	26,25	26,25	26,25	26,25	26,25	rate	
3	845	71,8	579	40,2	356	27,2	192	59,0	34,35	34,35	59,0	34,35	34,35	34,35	34,35	34,35	34,35	neu	
4	1220	65,4	797	40,2	535	28,5	276	53,3	42,6	42,6	53,3	42,6	42,6	42,6	42,6	42,6	42,6		
5	486	79,4	441	45,6	143	26,8	110	60,5	15,6	15,6	60,5	15,6	15,6	15,6	15,6	15,6	15,6		
6	410	72,0	348	39,5	126	24,7	86	56,8	17,3	17,3	56,8	17,3	17,3	17,3	17,3	17,3	17,3		
7	618	78	492	48,5	214	27,8	141	57,4	23,4	23,4	57,4	23,4	23,4	23,4	23,4	23,4	23,4		
8	527	74	397	43,4	179	26,1	102	56,1	23,5	23,5	56,1	23,5	23,5	23,5	23,5	23,5	23,5		
9	521	74,6	364	45,2	198	26,5	107	55,8	26,0	26,0	55,8	26,0	26,0	26,0	26,0	26,0	26,0		
10	640	72,0	447	44,7	231	26,0	118	53,2	28,5	28,5	53,2	28,5	28,5	28,5	28,5	28,5	28,5		
11	791	73,3	509	48	295	25,3	142	54,6	33,1	33,1	54,6	33,1	33,1	33,1	33,1	33,1	33,1		
12	884	76,4	618	50,8	344	29,2	193	54,4	33,5	33,5	54,4	33,5	33,5	33,5	33,5	33,5	33,5		
13	883	72	517	48,6	335	30,3	156	54,6	36,8	36,8	54,6	36,8	36,8	36,8	36,8	36,8	36,8		
14	998	73,6	611	51,2	392	31,4	175	52,8	40,4	40,4	52,8	40,4	40,4	40,4	40,4	40,4	40,4		
15	1240	69	715	50,8	507	33,6	216	51,7	46,5	46,5	51,7	46,5	46,5	46,5	46,5	46,5	46,5		
16	1516	72,4	824	54,7	257	36,6	620	54,3	52,0	52,0	54,3	52,0	52,0	52,0	52,0	52,0	52,0		
									20										

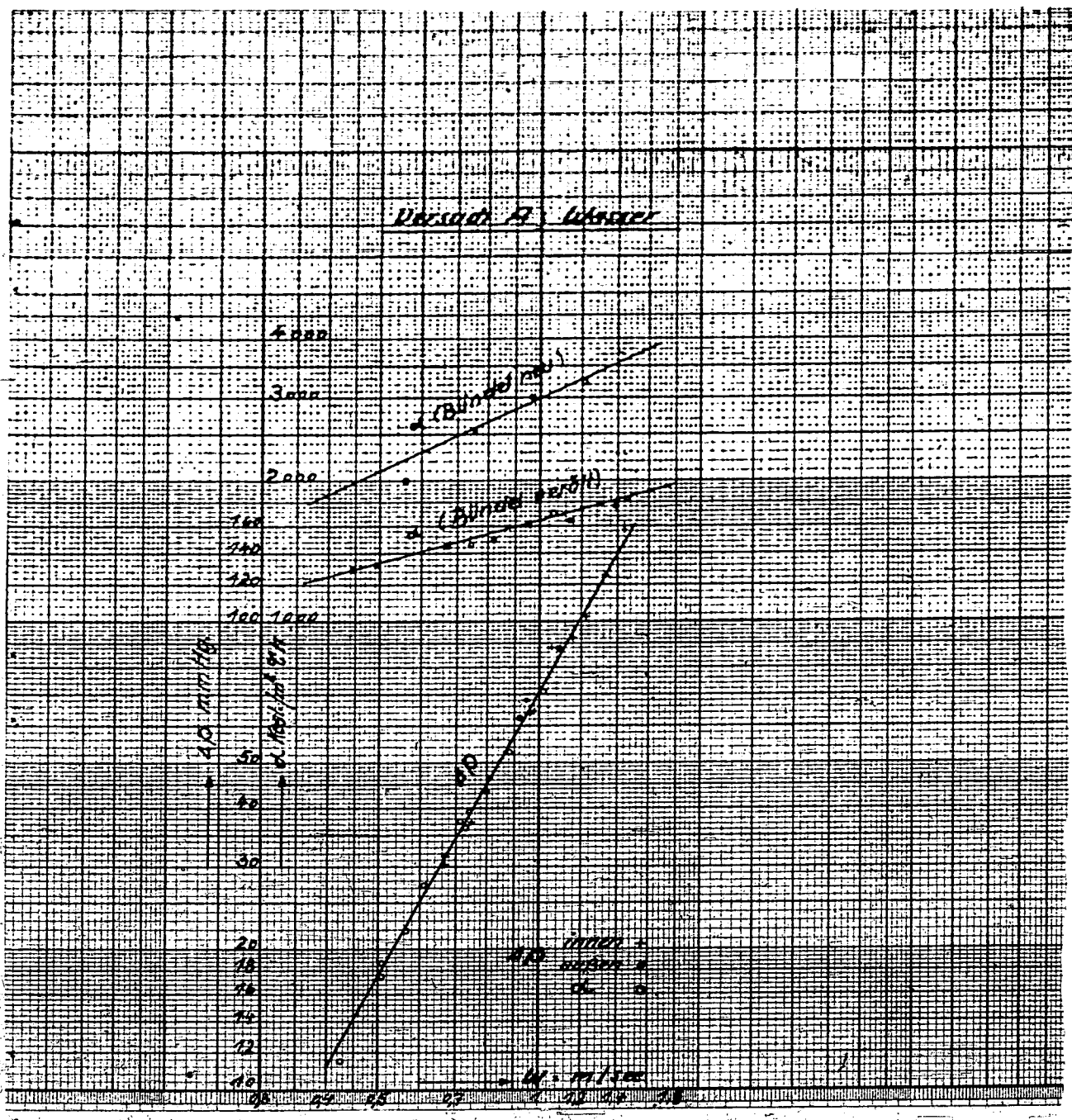
20036

Auswertung von Versuch Δ_4

Wälder durch das Bündel
Wälder um das Bündel.

Widerst./ Einheit mm Hg	Widerst./ Einheit mm Hg	Wärme- durchgr. K kcal/ qm h bei R_1	Wärme- übertrag. kcal/ qm $^{\circ}$ C h innen	Geschw. m/sec. = w1	Geschw. m/sec. = w2	Durch- satz kg/h $\times 1000$	Mittl. Temp. $^{\circ}$ C	Mittl. Temp. $^{\circ}$ C	App. neu	Apparate verölt		
							innen	außen		innen	außen	innen
1	17,8	11,42	980	2010	0,560	0,425	19,50	53,1	41,5	0,987	0,992	0,545
2	28,3	17,55	1240	2540	0,75	0,568	25,99	50,95	39,5	0,988	0,9925	0,550
3	64,05	39,5	1480	3040	0,98	0,743	33,90	56,0	43,1	0,986	0,991	0,510
4	101,75	62,1	1580	3240	1,215	0,925	42,00	52,8	40,9	0,987	0,992	0,530
5	10,84	7,95	638	1300	0,445	0,337	15,4	62,5	43,65	0,983	0,991	0,465
6	14,93	9,64	655	1345	0,495	0,376	17,2	55,75	40,75	0,986	0,992	0,510
7	30,34	17,43	590	1205	0,665	0,505	23,0	63,25	42,6	0,983	0,9915	0,455
8	31,3	18,5	710	1450	0,670	0,51	23,1	58,7	41,1	0,984	0,992	0,490
9	57,75	21,9	721	1475	0,745	0,565	25,8	59,9	41,15	0,9835	0,992	0,480
10	46,5	27,25	732	1505	0,818	0,62	28,25	58,35	39,1	0,9845	0,993	0,490
11	68	36,9	790	1620	0,947	0,72	32,70	60,55	41,95	0,9835	0,992	0,470
12	64	36,2	678	1380	0,96	0,73	33,15	63,6	41,8	0,982	0,992	0,450
13	88	43,1	820	1700	1,055	0,80	36,5	60,3	41,95	0,9835	0,992	0,475
14	93	52,1	800	1645	1,15	0,876	39,9	62,4	42,6	0,983	0,9915	0,465
15	126	70	868	1720	1,33	1,01	46,0	59,9	42,65	0,984	0,9915	0,480
16	169,5	87	900	1850	1,45	1,10	51,5	63,55	45,45	0,9825	0,990	0,450
										Mittel		
										58,86	41,86	0,488
												0,639

20037



Unterleges von Versuch B_a

Methanol durch das Bindel
Wasser um das Bindel

	Mess-stelle 1 mm Hg	Mess-stelle 2 mm Hg	Mess-stelle III °C	Mess-stelle IV °C	obm/h Methanol x 1000	kg/h Methanol x 1000	obm/h Methanol x 1000	kg/h Methanol x 1000
1	336	46	153	29,0	17,0	34,5	13,6	28,8
2	568	45,6	219	32,3	17,0	36,4	13,6	40,9
3	285	46,4	171	27,2	17,1	32,1	13,6	22,3

23
20039

Auswertung von Versuch B_a

Methanol durch das Bündel
Wasser um das Bündel.

Widerstand mm Hg innen	Wärme- durch- gang K _m m ⁻¹ °C ⁻¹	Geschw. des Methanols m/s	Geschw. des H ₂ O m/s	Wärme- über- gang d. H ₂ O d. Methanols m/s	Spes. Wärme d. Methanols d. H ₂ O m/s	Mittl. Temper. kg/Ltr. °C	Kinemat. Zähligk. qm/s x 10 ⁶
1 44	361	0,822	0,295	800	660	0,6	37,5 0,794 0,595
2 84	395	1,165	0,295	800	780	0,6	38,95 0,793 0,59
3 27,3	302	0,638	0,295	800	486	0,585	36,8 0,7945 0,59
							Mittel: 37,75 0,7938 0,595

24
20040

Meßwerte des Versuchs

Methanol durch das Bündel

Methanol um das Bündel.

Temperatur 17° C, $\gamma = 0,82$.

	Meß- stelle 1. mm Hg	Meß- stelle 2. mm Hg	Meß- stelle 3. mm Hg	Meß- stelle 4. mm Hg	cbm/h Methanol	kg/h Methanol $\times 1000$
1	489	312	232	132	28,5	23,4
2	657	392	326	172	55,0	28,75
3	887	510	411	214	40,6	33,2
4	1019	584	493	244	45,2	37
5	1233	684	582	283	49,5	40,6
6	1414	792	669	324	53,5	44,0
7	1509	842	712	343	55,2	45,4

Ansverlung zum Versuch 2 b

Methanol durch das Bündel

Methanol um das Bündel

Temperatur 17°C , $\mu = 0,82$

	Widerstand mm Hg innen	Widerstand mm Hg außen	Geschwindigk. m/s innen	Geschwindigk. m/s außen	Kinemat. Zähigkeit $\zeta \text{ m}^2/\text{s} \times 10^3$
1	40,2	24,1	0,815	0,62	0,77
2	63,2	37,2	1,0	0,76	0,77
3	90,5	47,5	1,16	0,88	0,77
4	128,5	60,0	1,295	0,98	0,77
5	131,5	71,8	1,42	1,08	0,77
6	149,0	83,0	1,535	1,16	0,77
7	161,0	98,8	1,58	1,20	0,77

Unterlagen zu Versuch B_o

Methanol durch das Bündel
Methanol um das Bündel.

Meßstelle 1 mm Hg	Meßstelle I °C	Meßstelle II °C	Meßstelle III mm Hg	Meßstelle IV °C	Meßstelle V mm Hg	obm/h Methanol	kg/h Methanol
1 362	40,3	201	28,9	174	20,6	105	22,3
2 669	45,0	483	30,9	246	20,2	152	28,8
3 839	45,25	535	32,75	329	21,7	181	34,2
4 898	41,0	524	31,6	383	22,3	206	31,7

20043

- 27 -

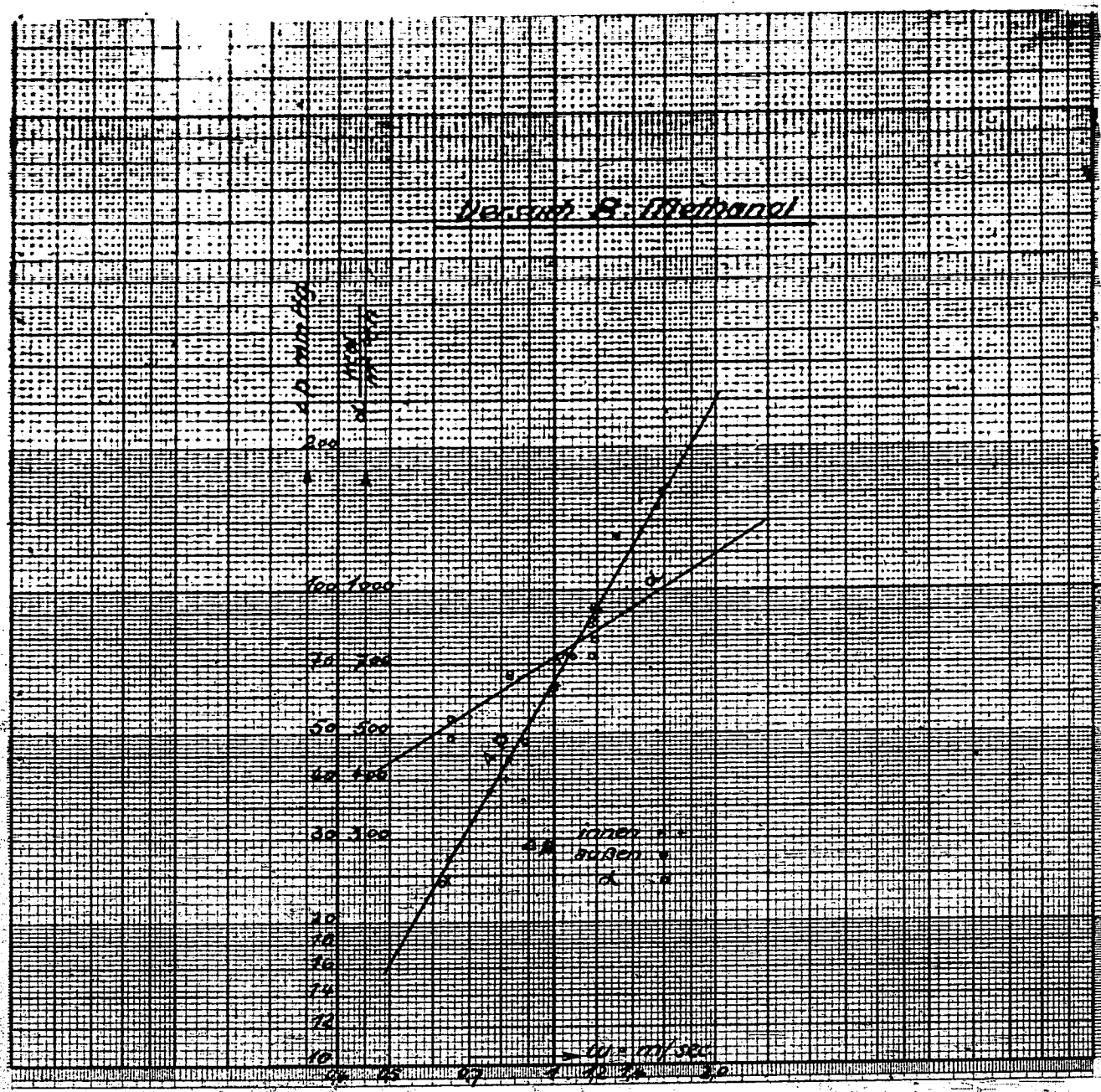
Auswertung von Versuch B_0

Ketanol um das Bündel
Methanol durch das Bündel.

Widerst. mm Hg	Widerst. mm Hg	Temperatur ΔT °C	Geschw. des Methanols m/s	Geschw. des Methanols m/s	Wärme- über- gang α kcal m² °C h	mittl. Temp. °C	mittl. Temp. °C	Kinetik. qm/s 10 ⁶	mittl. Temp. °C	mittl. Temp. °C	Kinetik. qm/s 10 ⁶	mittl. Temp. °C	
1	24,3	16,6	262	0,638	0,482	537	34,60	0,796	0,752	26,25	0,803	0,68	
2	44,6	22,8	329	0,821	0,622	672	37,95	0,793	0,708	27,25	0,802	0,675	
3	73	35,6	346	1,015	0,770	710	38,00	0,793	0,708	27,95	0,801	0,67	
4	90	42,7	356	1,165	0,882	730	36,30	0,794	0,728	27,00	0,802	0,675	
Mittel			36,71	0,794	0,724								

20044

28



20046

- 30 -

Unterlagen zum Versuch 6

Schwerbenzin durch das Bündel
 Wasser um das Bündel.

Bündel verschontzt.

Mes- stelle 1	Mes- stelle I	Mes- stelle 2	Mes- stelle II	Mes- stelle 3	Mes- stelle III	Mes- stelle 4	Mes- stelle IV	cm/h	Benzin	kg/h Benzin x 1000
mm Hg	°C	mm Hg	°C	mm Hg	°C	mm Hg	°C			
228	49,8	105	33,7	16,8	38,8	22	18,2	5,75	5,72	
353	40,8	140	31,5	16,3	32,6	28,4	23,4	5,75	5,72	
493	48,5	182	37,7	16,8	41,2	35,2	29,2	5,75	5,72	
597	41,1	208	33,9	16,5	34,2	40,3	33,3	5,75	5,72	
753	45,4	254	37,2	16,7	40	45	37,2	5,75	5,75	
881	46,0	289	38,6	16,8	38,2	49,4	40,8	5,75	5,75	
1154	46,8	366	39,8	16,7	41,9	56,8	46,9	5,75	5,75	
1258	47,5	392	40,4	16,8	41,8	59,8	49,4	5,75	5,75	

20347

- 31 -

Auswertung von Versuch C_a

Schwerbenzin durch das Bündel

Wasser um das Bündel

	Widerst./ Einheit mm Hg innen	Wärme durchgg. koal qm°C h bez. Pi	Geschw. m/Sek. wi Benzin innen	Geschw. m/Sek. H ₂ O außen	Mittl. Temp. °C	m kg/Ltr. innen	Kinemat. Zähligk. m ² /sx10 ⁶ innen	Specs. Wärme koal kg°C Benzin
1	29,6	166	0,63	0,124	41,6	0,826	0,985	0,432
2	51,2	149	0,815	0,124	36,15	0,830	1,055	0,432
3	74,5	191	1,01	0,124	43,1	0,824	0,965	0,446
4	93,5	164	1,155	0,124	37,5	0,829	1,040	0,424
5	120	215	1,29	0,124	41,3	0,826	0,985	0,439
6	142,5	174	1,41	0,124	42,3	0,825	0,975	0,415
7	189	214	1,625	0,124	43,3	0,824	0,965	0,438
8	208	205	1,71	0,124	44,85	0,823	0,955	0,412
				Mittel:	41,3	0,826	0,990	0,429

Unterlagen zum Versuch C_b

Schwerbenzin durch das Bündel
Schwerbenzin um das Bündel.

	Meß- stelle I mm Hg	Meß- stelle I °C.	Meß- stelle 2 mm Hg	Meß- stelle II °C	Meß- stelle 3 mm Hg	Meß- stelle III °C	Meß- stelle 4 mm Hg	Meß- stelle IV °C	cbm/h Benzin	Kg/h Benzin x 1000
	1	240	56,8	158	35,8	150	20,0	92	41,2	20,2
2	725	43,5	513	32	242	20,1	137	31,8	28,4	23,45
3	663	53,8	274	37,6	243	21,1	175	39	35	28,9
4	921	45,3	525	34,7	406	23,4	208	33,5	40,3	23,2
5	1086	53,0	602	39,2	513	26	252	39,8	45	37,2
6	1302	50,6	702	38,6	585	26,1	288	38	49,3	40,7
7	1450	51,8	792	39,7	674	27,5	323	39,4	53,5	44,2
8	1568	51,2	854	39,9	718	27,7	347	38,7	55,5	45,8

Bündel verschmutzt.

Aufzeichnung von Versuch C₃

Schmerzenziehen durch aus Zündel
Schmerzen im aus Zündel.

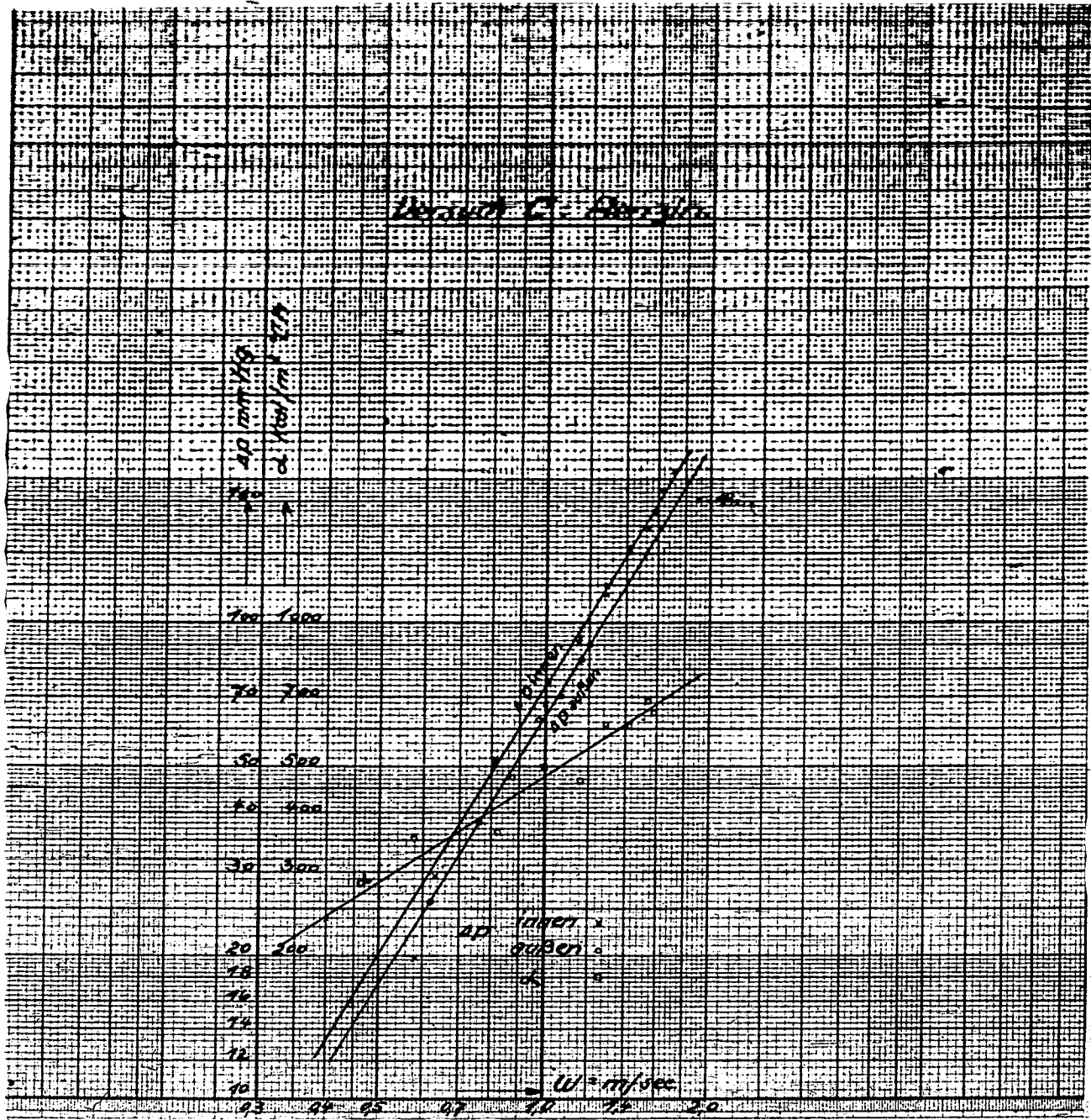
05.03.429

Index	Zeitpunkt min 32	Geschw. m/sek	Messerst. mm/2s	Geschw. m/sek.	Mittl. Temp. °C	Körper O ₂ in den inneren Gelenken	Körper O ₂ außen	Kinetik, Methg., 2,6 × 10 ⁶ ml/min	Turne- durchge- kcal	Turne- überzu- m 2/s h außen
1	19,8	0,58	25,8	0,74	46,3	30,6	3,82	0,834	5,93	172
2	51	0,815	25,6	0,62	35,8	32	2,828	0,834	1,35	176
3	58	1,5	32,3	0,76	45,7	31,05	0,891	0,833	0,35	243
4	95,5	1,155	47,8	0,875	40	28,5	0,626	0,836	2,05	229
5	106	1,416	52,8	0,98	46,1	32,9	0,821	0,82	0,92	208
6	113,5	1,475	52,8	1,07	44,6	32	0,822	0,823	0,95	297
7	119	1,555	64,5	1,16	45,7	32,45	0,825	0,832	0,935	332
8	171,5	1,592	89,2	1,205	45,6	33,2	0,821	0,832	0,935	315
Mittel:										
Mittel:		43,85	51,45	0,822	0,832	0,938				
Mittel: 70 sec Zeitintervall:										
Mittel: 70 sec Zeitintervall:										

20049

20050

- 34 -



20051

- 35 -

Unterlagen von Versuch D

Mittelöl durch das Bündel

Wasser um das Bündel.

	Mess- stelle 1 mm Hg	Mess- stelle I °C	Mess- stelle 2 mm Hg	Mess- stelle II °C	Mess- stelle III °C	Mess- stelle IV °C	cm/h H ₂ O außen	cm/h Öl innen	Bem.
1	229	62,9	112	28,1	19,0	37,7	15,9	21,15	x
2	339	64,1	148	30,3	19,1	42,1	15,9	28,1	x
3	474	62,9	193	32,7	19,0	45,1	15,9	34,8	x
4	593	61,9	231	32,5	19,0	47,5	15,9	39,65	x
5	528	62,4	208	26,8	19,0	32,5	39,5	36,5	x
6	769	62,7	287	28,2	19,0	35,2	39,5	45,4	x
7	1193	67,3	393	41,1	19,0	47,3	22,0	57,0	y
8	986	66,5	333	39,1	19,2	45,3	22,0	51,0	y
9	1006	67,0	339	39,3	19,0	45,5	22,0	51,0	y
10	781	66,5	270	37,4	19,2	43,7	22,0	44,0	y
11	725	67,7	256	37,2	19,2	43,5	22,0	42,5	y
12	506	64,4	191	33,2	19,2	39,4	22,0	34,6	y
13	525	64,0	195	33,4	19,2	38,8	22,0	34,6	y
14	325	64,3	138	30,4	19,2	35,6	22,0	25,7	y

x = Bündel neu,

y = Bündel verölt innen und außen.

Abbildung 2 von Versuch 2
mit einem Fenster

24.05.1952 durch den
Herrn um das Landes-

	Höderst. / Einheit mm Hg	Therm. Durchgang z. local/m ²	Geschw. m/sec 51	Geschw. m/sec H 2 0	Üldurch- satz in kg/h außen	Üldurch- satz in kg/h innen	Wasser- durchgangs- ksg/h ≈ 1000	Mittel. Temp. °C	Spez./atr. Gew. Sptz.	Einemt. Zählig. m²/s 2136	Spez.-Werte cp kcal kg °C
1	28,2	342	0,608	0,345	18,65	15,8	45,5	0,883	1,05	0,445	
2	46,0	414	3,805	0,345	24,8	25,8	47,3	0,882	1,61	0,430	
3	67,8	481	0,995	0,345	20,7	15,8	50,28	0,88	1,55	0,444	
4	86,8	592	1,135	0,345	35	15,8	47,2	0,882	1,61	0,435	
5	77	590	1,042	0,86	32,2	39,4	44,6	0,884	1,68	0,458	
6	116	705	1,30	0,86	40	39,4	45,45	0,883	1,65	0,456	
7	195	521	1,635	0,478	50	21,9	54,2	0,877	1,47	0,465	
8	159	490	1,460	do	44,7	do	52,8	0,878	1,49	0,455	
9	160,5	494	1,460	do	44,7	do	53,15	0,878	1,490	0,458	
10	123	466	1,260	do	38,6	do	52,95	0,879	1,51	0,467	
11	113	449	1,215	do	37,25	do	52,45	0,878	1,49	0,459	
12	75,5	402	0,99	do	30,4	do	48,8	0,881	1,57	0,455	
13	79,5	390	0,99	do	30,4	do	48,6	0,882	1,57	0,452	
14	45,2	311	0,735	do	22,5	do	47,35	0,882	1,61	0,433	
Bündel Verstärkungen							49,26	2,8806	1,568	0,451	

20052

- 36 -

20053

- 57 -

Unterlagen von Versuch D_b

Mittelöl durch das Bündel

Mittelöl um das Bündel

	Meß- stelle 1 mm Hg	Meß- stelle I °C	Meß- stelle 2 mm Hg	Meß- stelle II °C	Meß- stelle 3 mm Hg	Meß- stelle III °C	Meß- stelle 4 mm Hg	Meß- stelle IV °C	innen Öl außen	innen kg/n Öl x 1000 außen	
1	1003	53	597	37,5	478	27	247	42,2	42,45	37,5	x
2	1100	61,9	706	41,2	431	26,2	228	46,4	39,7	35,2	x
3	826	54,7	531	37,3	343	25,0	187	42,3	34,2	30,04	x
4	834	63,3	543	41,7	339	25,6	186	47,2	34,0	30,0	x
5	605	52,1	399	36,4	267	23,6	152	39,5	29,5	26,1	x
6	568	51,2	388	35,7	231	22,6	137	37,7	26,6	23,6	x
7	442	53,6	314	35,1	171	22,4	109	41,3	21,5	19,0	x
<hr/>											
1	254	54,9	172	37,0	145	22,6	87	40,6	17,4	15,4	y
2	369	53,0	231	37,8	204	24,2	110	39,2	22,8	20,2	y
3	516	55,6	310	40,2	264	26,3	136	41,7	28,1	24,95	y
4	738	50,45	426	38,4	363	27,3	178	38,9	34,0	30,1	y
5	904	54,3	516	41,7	434	29,7	209	42,5	38,9	34,4	y
6	1276	47,9	712	38,7	603	29,2	285	38,1	46,7	41,4	y
7	1554	54	857	43,8	708	32,2	333	41,9	51	45,2	y
8	1677	47,0	928	39,6	786	31,0	264	38,2	54,4	48,25	y

x = Bündel neu,

y = Bündel verschmutzt.

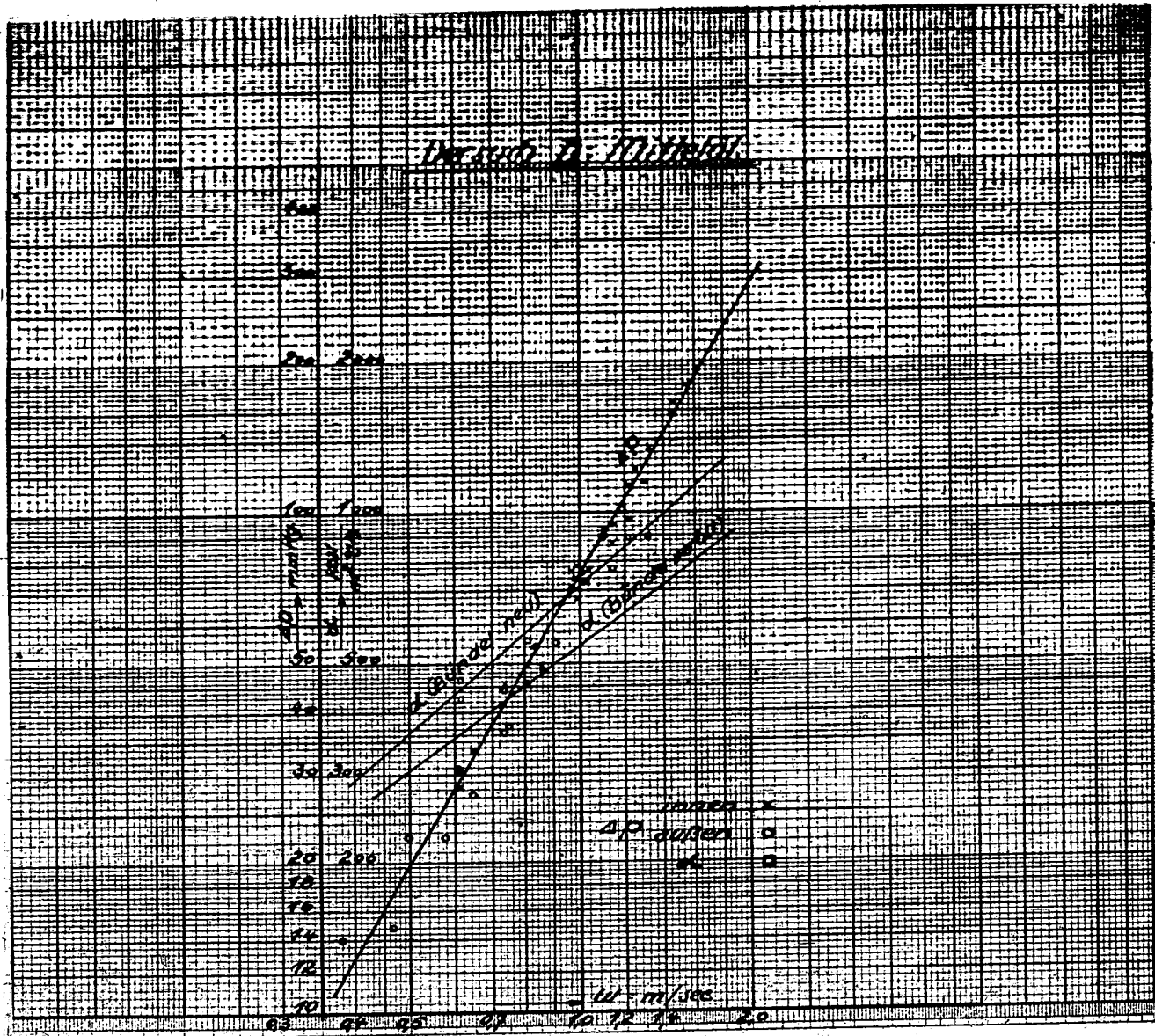
Auswertung VOF Versuch
D₃

$$c_p = 0,451$$

Mittel durch das Bündel
Mittel um das Bündel

Widerst. Einheit: mm Hg	Widerst. Einheit: mm Hg	Geschw. m/sec.	mittl. Temp. °C	Geschw. m/sec.	mittl. Temp. °C	ausen innen	Kinetik: Zahlig. $\times 10^6$	Kinetik: Zahlig. $\times 10^6$							
														Bündel neu	Bündel verschmutzt
1. 97,8	55,5	45,25	1,22	34,6	0,915	0,8835	0,892	434	890	-	1,66	1,98	-	-	-
2. 94,8	48,9	52,55	1,14	35,3	0,865	0,879	0,890	376	775	1,52	1,91	-	-	-	
3. 71	37,5	46,0	0,98	33,7	0,745	0,883	0,893	340	700	1,64	2,01	-	-	-	
4. 70,5	36,7	52,5	0,975	36,4	0,74	0,878	0,889	224	660	1,50	1,91	-	-	-	
5. 49,5	27,6	44,3	0,845	31,5	0,64	0,884	0,895	260	535	1,68	2,07	-	-	-	
6. 43,3	22,6	42,4	0,76	37,7	0,578	0,885	0,889	218	446	1,70	1,87	-	-	-	
7. 20,8	14,85	44,35	0,615	31,85	0,468	0,884	0,895	-	-	1,60	2,07	-	-	-	
8. 12,8	14	45,8	0,497	31,60	0,378	0,883	0,896	-	-	1,64	2,07	-	-	-	
1. 33,3	22,6	45,4	0,652	31,7	0,495	0,883	0,895	178	365	1,64	2,07	-	-	-	
2. 49,5	30,8	47,9	0,805	34,0	0,61	0,882	0,8925	220	452	1,59	2,01	-	-	-	
3. 76,2	44,5	44,47	0,97	32,8	0,735	0,884	0,8935	254	520	1,68	2,02	-	-	-	
4. 93,2	54	48,0	1,11	35,1	0,84	0,882	0,89	294	604	1,59	1,91	-	-	-	
5. 136	76,5	43,4	1,335	33,6	1,015	0,885	0,893	309	632	1,70	2,01	-	-	-	
6. 167,5	90	48,9	1,46	35,6	1,105	0,881	0,891	320	658	1,57	1,94	-	-	-	
7. 101,5	43,2	31,555	1,18	34,5	1,18	0,885	0,892	324	663	1,70	1,98	-	-	-	
8. 180	16,295	34,13	-	-	-	-	-	-	-	1,632	1,99	-	-	-	
	Mittel:	16,295	0,8827	0,8925	-	-	-	-	-	-	-	-	-	-	-

20054
- 38 -



20056

- 40 -

Unterlagen zum Versuch

Teerabstreifer durch das Bündel
Wasser durch das Bündel

	1. stelle mm Hg	2. stelle °C	1. stelle mm Hg	2. stelle °C	III. stelle °C	IV. stelle °C	cm³/n Cl	cm³/n x 1000	cm³/n Wasser	kg/h Wasser x 1000
1. Bündel	245	65	125	44,6	17,7	27,2	18,8	17,0	19,5	19,4
2. Bündel	398	63,8	148	41,2	17,8	32,8	27,2	24,7	19,5	19,4
3. Bündel vergl.	549	65	185	40,6	17,8	37,4	33,4	30,25	19,5	19,4
4. Bündel vergl.	703	63,2	228	41,3	17,9	38,3	38,5	34,9	19,5	19,4
5. Bündel neu	827	65,7	263	43,8	17,7	40,3	43,0	39	19,5	19,4
6. Bündel neu	982	62	311	41,8	17,8	40,1	47,2	42,8	19,5	19,4
7. Bündel neu	1130	64,3	354	43,9	17,7	43,1	50,95	46	19,5	19,4
8. Bündel neu	1278	64,4	389	44,4	17,9	43,5	54,4	49,4	19,5	19,4
1. Bündel	303	57,6	108	35,9	17,4	32,4	23,7	21,5	17,5	17,45
2. Bündel	371	56,8	153	34,2	17,5	32,4	25	22,7	17,5	17,45
3. Bündel neu	524	57,1	196	35,6	17,5	34,6	31,4	25,5	17,5	17,45
4. Bündel neu	556	55,4	204	36,3	17,4	33,7	33,2	30,1	17,5	17,45
5. Bündel neu	666	56	240	36,3	17,6	36,4	36,4	33	17,5	17,45
6. Bündel neu	808	56,7	286	36,8	17,6	38,3	41,0	37,1	17,5	17,45

AUSWERTUNG VON VERSUCHEN
HANDELSMATERIAL

LÖSCHUNGSSTÄBE DURCH DURCHSCHÜTTEN
• HANDEL VON LIQUIDFUESSIG

Z₈

Nr.	Abstand in cm	Rohr- durchmesser in mm	Gesamtw. Volumen des Öls	Gesamtw. Volumen des Öls außen	Geschw. im 20°C Innen	Mittel Temp. des Öls	Spezif. Gewicht des Öls	Mindest- zulässig- keit des Öls	Spezif. Wert des Öls	Mindest- zulässig- keit des Öls	Spezif. Wert des Öls	Mindest- zulässig- keit des Öls
1	20,4	104	0,54	0,422	54,8	0,900	5,30	0,532	14,20	11,2		
2	50	195	0,78	0,423	52,5	0,902	5,50	0,522	14,20	22,7		
3	87,5	272	0,95	0,422	52,8	0,902	5,45	0,518	14,20	23,5		
4	114,5	295	1,1	0,423	52,25	0,903	5,55	0,520	14,20	27,2		
5	135	307	1,23	0,423	54,4	0,901	5,35	0,495	14,20	39,1		
6	161	320	1,35	0,423	52	0,904	5,55	0,50	14,20	42,9		
7	186	375	1,45	0,423	54,1	0,901	5,35	0,525	14,20	50,8		
8	214	376	1,56	0,423	54,4	0,901	5,35	0,502	14,20	50,9		
					164 Mittel:	53,40	0,9018	5,425				
1	47	218	0,68	0,383	45,8	0,905	6,15	0,565	17,40	250	y	
2	52,5	231	0,715	0,383	45,5	0,905	6,35	0,515	17,40	238	y	
3	79	266	0,90	0,383	46,4	0,905	6,20	0,490	17,40	215	y	
4	83	254	0,95	0,383	46,0	0,906	6,10	0,500	17,40	297	y	
5	102	306	1,04	0,383	75,4	0,906	6,20	0,510	17,40	375	y	
6	126	342	1,175	0,383	46,8	0,905	6,15	0,490	17,40	425	y	
					46,32 Mittel:	0,906	6,19	0,513				

x = Bündel neu

y = Bündel neu

20057

Unterlagen zum Versuch E_b

Teerabstreifer durch das Bündel
Teerabstreifer um das Bündel

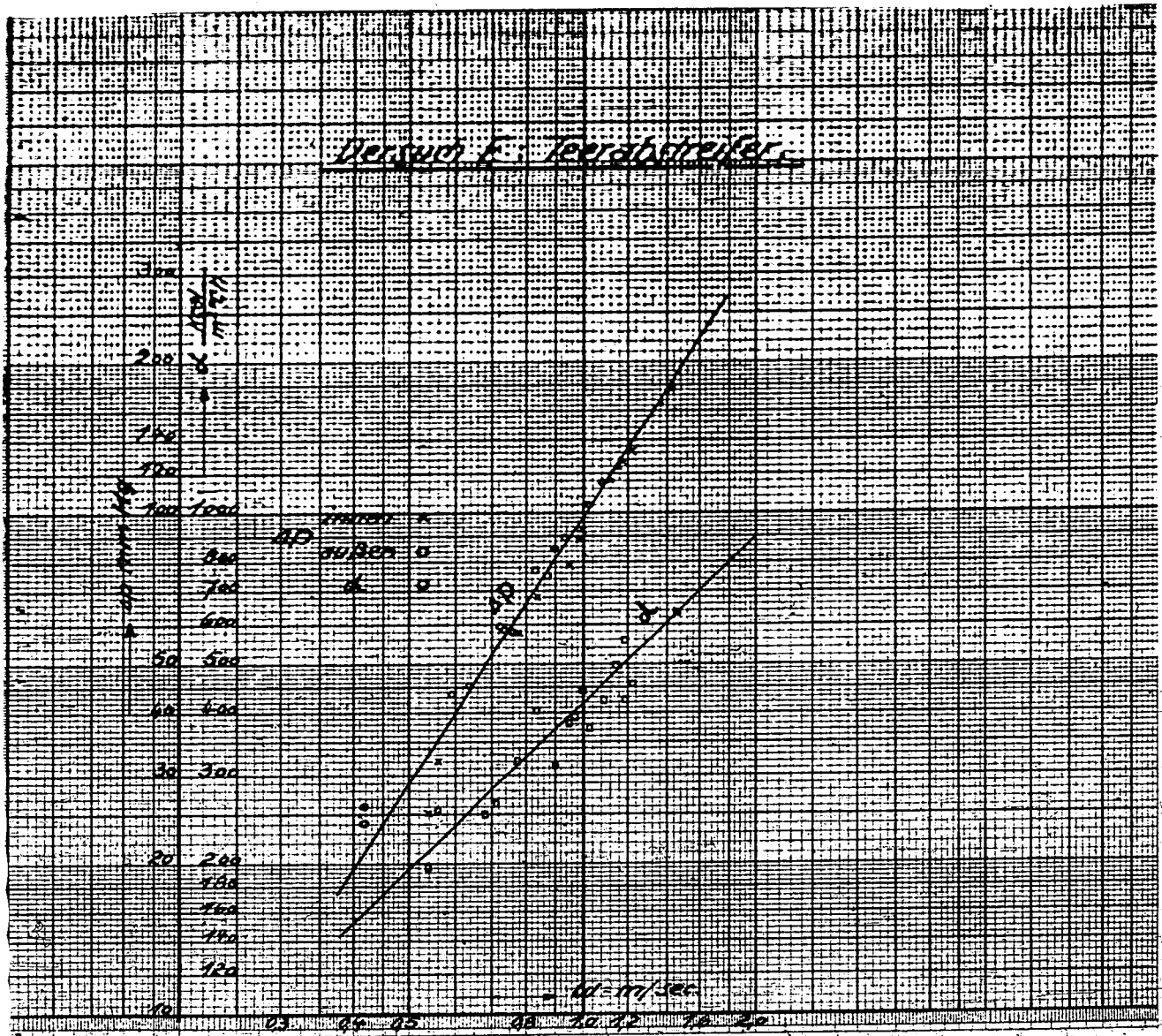
	Meß- stelle 1 mm Hg	Meß- stelle I °C	Meß- stelle 2 mm Hg	Meß- stelle II °C	Meß- stelle 3 mm Hg	Meß- stelle III °C	Meß- stelle 4 mm Hg	Meß- stelle IV °C	m³/h Ø1 innen außen	kg/h Ø1 innen außen
1	357	59,7	252	49,2	211	31,8	102	42,2	18,8	17
2	828	64,2	587	48,7	319	26,4	139	42	27,1	24,5
3	817	55,4	490	46,9	418	24,7	171	43	33,3	30,1
4	1248	59,5	764	47,4	547	28,8	227	40,8	38,7	35
5	1283	56,0	739	48,9	624	37,8	252	44,7	43,1	39
6	1616	59,7	927	49	730	34	299	44,4	47,1	42,6
7	1700	58,5	960	48,8	807	36,6	328	45,4	50,1	45,6
1	428	56,6	293	44,2	214	28,2	113	40,6	19,6	17,8
2	762	56,3	474	44,9	350	31,1	163	42,3	29,4	26,6
3	1008	56,7	622	46,1	445	32	203	42,5	35,0	31,8
4	940	55,3	568	46,7	451	33,6	207	42,5	34,4	31,2
5	1326	55	809	45,3	562	31,1	247	41,5	40,5	36,7
6	1320	56,1	778	47,3	626	36,5	273	45,1	41,3	37,5

Auswertung von Versuch
Nr. 2

Strombetriebsergebnisse
bei einem Teststromdurchfluss von
 $O_2 = 0,51 \text{ kcal}/\text{ZS}$

Stromstärke/ Spannung	Widerstand/ Spannung	Widerstand/ E kcal/ m ² °C N	Wärme- übertragung qm/h °C m	Geschw. m/sec.	Geschw. m/sec.	Mittl. temp. °C	R _S /Str.	R _g /Str.	Temperaturmessungen		Temperatur änderung in °C	Temperatur änderung in °C	Temperatur änderung in °C
									innen	aussen			
1 25,2	26,2	92	191	0,54	0,41	54,45	37,0	0,901	0,911	5,30	-7,65	-7,65	-7,65
2 58	43,5	156	320	0,78	0,59	56,45	34	0,900	0,913	5,10	-5,10	-8,10	-8,10
3 79	59,5	188	386	0,955	0,725	51,15	37,85	0,903	0,910	5,65	-5,45	-7,45	-7,45
4 116,5	77	206	423	1,11	0,84	53,45	34,8	0,902	0,912	5,40	-7,85	-7,85	-7,85
5 34	89,5	222	455	1,235	0,94	52,45	41,25	0,902	0,909	5,45	-6,90	-6,90	-6,90
6 166	104	259	552	1,35	1,025	54,35	39,2	0,901	0,910	5,30	-7,20	-7,20	-7,20
7 178	115,5	309	635	1,44	1,09	53,65	40,5	0,902	0,910	5,45	-7,00	-7,00	-7,00
8 32,5	24	725	258	0,56	0,425	50,40	34,4	0,904	0,913	5,20	-8,05	-8,05	-8,05
9 69,2	45	196	404	0,84	0,64	50,60	36,7	0,904	0,912	5,20	-7,35	-7,35	-7,35
10 25	55	216	474	1,0	0,76	51,40	37,25	0,903	0,911	5,65	-7,50	-7,50	-7,50
11 89,5	58,5	191	390	0,98	0,745	51,0	38,05	0,903	0,910	5,65	-7,40	-7,40	-7,40
12 neu	76	244	503	1,16	0,88	50,25	35,2	0,904	0,912	5,75	-7,55	-7,55	-7,55
13 22,4	27	571	598	1,13	0,9	51,70	40,6	0,903	0,909	5,05	-7,00	-7,00	-7,00
14 22,8	35	52,40	52,40	-1,01	-1,01	52,40	57,01	0,9025	0,9106	5,52	-7,477	-7,477	-7,477

20060



20071

Unterlagen zum Versuch P_a

Rückstand durch das Mündel
Wasser um das Mündel.

	Meß- stelle 1 mm Hg	Meß- stelle I °C	Meß- stelle 2 mm Hg	Meß- stelle II °C	Meß- stelle III °C	Meß- stelle IV °C	m³/h H 2 O	kg/h H 2 O x1000	m³/h Rückst.	kg/h Rückst. x1000
1	361	78	143	57,6	18,1	32,8	15,5	15,4	24,5	23,1
2	526	78,8	166	60,8	18,2	36,1	15,5	15,4	333	31,3
3	697	75,6	212	58,5	18,2	39,2	15,5	15,4	39,2	36,9
4	908	74,8	263	58	18,2	41,7	15,5	16,4	46,2	43,5
5	743	76	214	56	18,1	32,9	28,8	28,6	41,4	39
6	1002	71,7	275	55	18,2	32,8	28,8	28,6	49,0	46

20072

- 46 -

Anmerkung von Versuch P_a

Rückstand durch das Blindel
Wasser um das Blindel.

	Wider- stand am Hg innen	Wärme- durch- gang kcal m ⁻² och	Geschw. des Öls m/s	Geschw. des H ₂ O m/s	Wärme- über- gang H ₂ O	Wärme- über- gang Öl	Spez. Wärme des Öls kg/Ltr	Mittl. Temp. °C innen	Spez. Gew. innen kg/Ltr	Kinem. Zähigkeit x 10 ⁴ qm/sek.
1	52,5	98	0,7	0,335	1600	104	0,560	66,8	0,932	6,2
2	87	115,5	0,955	0,335	1600	124	0,490	69,8	0,930	5,8
3	117	150	1,12	0,335	1600	164	0,512	67,05	0,932	6,2
4	156	176	1,32	0,335	1600	197	0,495	66,4	0,933	6,25
5	128	187	1,18	0,622	2450	203	0,542	66,0	0,933	6,3
6	171	198	1,40	0,622	2450	206	0,545	63,35	0,935	6,7
					Mittel:		0,524	66,57	0,9325	6,24

20073

- 47 -

Unterlagen zum Versuch *Va I*

Widerstand durch das Mündel
Wasser um das Mündel.

	Mes- stelle 1 mm Hg	Mes- stelle I °C	Mes- stelle 2 mm Hg	Mes- stelle II °C	Mes- stelle III °C	Mes- stelle IV °C	cbm/h H 2 O außen	kg/h H 2 O x1000 außen	cbm/h Öl innen	kg/h Öl x1000 innen
1	524	55,1	158	45,1	16,5	23,2	19,8	19,7	26,5	25,2
2	642	55,7	204	46,4	16,4	23,8	19,8	19,7	32,5	30,9
3	798	56	238	45,1	16,4	26,5	19,8	19,7	37,5	35,5
4	904	55	278	44	16,4	27,4	19,8	19,7	42,0	40,0
5	1081	54,3	322	44,2	16,4	27,4	19,8	19,7	45,75	43,5
6	1286	57,9	372	45	16,4	31,8	19,8	19,7	49,2	46,8
7	1406	54,15	403	43,4	16,4	30,6	19,8	19,7	53,0	50,5
1	283	86,1	134	61,5	17,4	40,2	10,5	10,4	18,9	17,7
2	392	86,8	158	63,5	17,0	46,8	10,5	10,4	26,6	25,0
3	560	84,3	208	61,2	17,4	50,3	10,5	10,4	32,5	30,5
4	711	81,9	238	60,9	17,4	53,2	10,5	10,4	37,8	35,4
5	862	80,3	284	60,7	17,4	54,8	10,5	10,4	42,3	39,7
6	973	82,1	317	62	17,4	57,3	10,5	10,4	45,7	42,9
7	1072	84,2	341	64,3	17,4	59,6	10,5	10,4	48,8	45,7
8	1244	82,7	395	64,4	17,4	61,1	10,5	10,4	53,0	49,7

20074

Auswertung von Versuch 7a I

Rückstand durch das Bündel
Wasser um das Bündel.

	Wider- stand in Hg innen	Wärme- durch- gang K-Wall 200W	Geschw. des Öls m/s innen	Geschw. d.H 2 0 m/s außen	Wärme- über- gang H 2 0	Wärme- über- gang Öl	Spes. Wärme op. kg °C kcal kg °C	Mittl. Temp. °C innen	m kg/ltr innen	Eine- mat. Zähig- keit qm²/s x105
1	88	78	0,76	0,43	1500	84	0,520	50,10	0,946	9,75
2	105	84,5	0,93	0,43	1500	89	0,510	51,15	0,945	9,35
3	135	122,5	1,07	0,43	1500	135	0,515	50,55	0,946	9,50
4	151	140	1,20	0,43	1500	156	0,495	49,50	0,946	9,90
5	183	184	1,31	0,43	1500	211	0,500	49,25	0,9465	9,75
6	220	198,0	1,41	0,43	1500	230	0,505	51,45	0,945	9,75
7	240	199	1,52	0,43	1500	230	0,518	48,75	0,947	9,50
						Mittel	0,509	50,107	0,9459	9,643
1	36,0	125	0,54	0,227	1200	140	0,540	73,80	0,928	5,35
2	56,5	129	0,765	0,227	1200	144	0,530	75,15	0,926	5,20
3	84,5	161	0,93	0,227	1200	186	0,490	72,45	0,928	5,50
4	114	189	1,08	0,227	1200	233	0,505	71,40	0,929	5,60
5	139	236	1,215	0,227	1200	293	0,500	70,50	0,930	5,70
6	182	233	1,31	0,227	1200	273	0,485	72,00	0,928	5,50
7	176,5	233	1,4	0,227	1200	288	0,490	74,00	0,927	5,35
8	294	249	1,52	0,227	1200	312	0,502	73,55	0,928	5,35
						Mittel	0,505	72,85	0,928	5,44

20075

Unterlagen zum Versuch 7_b

Rückstand durch das Bündel
Rückstand um das Bündel.

	Mess- stelle 1 mm Hg	Mess- stelle I °C	Mess- stelle 2 mm Hg	Mess- stelle II °C	Mess- stelle 3 mm Hg	Mess- stelle III °C	Mess- stelle 4 mm Hg	Mess- stelle IV °C	obm/h 01	kg/h 01 x1000
1	818	54,3	569	50,6	404	36,6	174	40,2	26,5	25,2
2	905	52,6	642	49,3	402	34,1	190	37,6	26,5	25,2
3	1080	53,3	721	50,3	550	37,1	216	39,9	32,5	31,0
4	1282	54,6	847	51,3	637	37,6	248	41,3	37,6	35,7
5	1705	53,9	1007	50,9	834	39,5	316	42,3	46,0	43,8
1	1655	70,2	996	63,2	755	45,3	276	52,3	45,0	42,6
2	1338	69,0	838	63,1	641	47,0	233	53,0	37,7	35,6
3	1151	61,9	734	60	597	48,8	223	50,6	33,5	31,8
4	994	68,7	664	63,8	506	46,1	185	50,9	29,7	28,1
5	666	71,4	464	65,6	327	44,3	137	50,1	22,0	20,8

Auswertung von Versuch

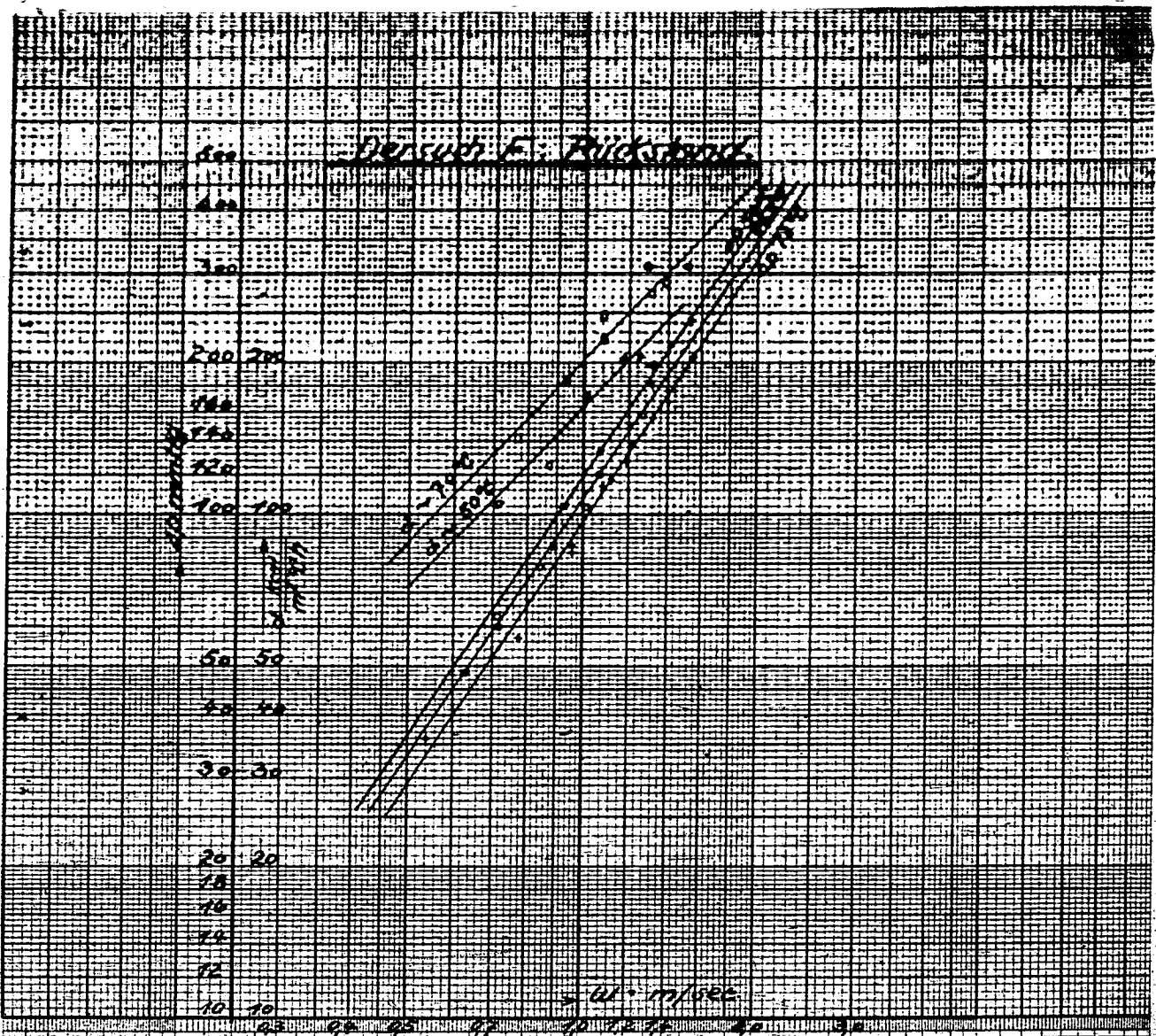
 $P_b = 0,51 \text{ kcal/kg } ^\circ\text{C}$ Ruokstand durch das Bündel
Ruokstand um das Bündel

Widerst. mm HG	Widerst. mm HG außen	Geschw. m/s innen	Geschw. m/s außen	Wärme- durch- gang Kcal/ m ² 00 h	Wärme- über- gang Kcal/ m ² 00 h	Mittl. Temp. °G innen	Mittl. Temp. °G außen	Kinemat. Zähligkeit $\text{m}^2/\text{s} \times 10^6$	
								innen	außen
1 60	55	0,72	0,545	60	122,5	52,45	38,40	0,944	0,956
2 63	51	0,72	0,545	52	106	50,80	35,85	0,946	0,959
3 86,5	80	0,885	0,672	61,5	126	51,60	38,50	0,945	0,956
4 104	93,5	1,02	0,772	84,5	174	53,00	39,45	0,944	0,955
5 168	124	1,25	0,95	100	205	52,40	40,90	0,944	0,954
1 159	115	1,28	0,975	152	312	66,70	48,80	0,932	0,947
2 120	98,2	1,08	0,82	121	248	66,05	50	0,937	0,946
3 100	90	0,96	0,73	/	/	61,00	49,70	0,937	0,946
4 79,5	77,2	0,85	0,649	70,5	145	66,25	48,50	0,933	0,947
5 48,5	45,7	0,63	0,48	52,5	106	68,50	47,20	0,931	0,949
Mittel:						58,875	43,730	0,9393	0,9515
								7,73	11,81

20076

50

20077



Gefundene spezifische Wärmen:

Medium	Temp. °C	Spes. Gew. kg/l	H 2 O Gehalt Vol.-%	cp konst. kg °C	cp kal/m ² och ohne H 2 O	cp kcal/kg h nach Doepke Oppau	amerikan. Werten
Methanol	35	0,795	0	0,595	0,595	0,58	-
Schwerbenzin	40	0,827	1,6	0,429	0,420	0,453	0,470
Mittelöl	50	0,888	0	0,451	0,451	0,450	0,460
Tearabstr.	50	0,904	13	0,513	0,441	0,452	0,454
Teerrückst.	60	0,935	9	0,510	0,461	0,455	0,450

Zur allgemeinen Orientierung seien hier noch einige Gesetzmäßigkeiten für die spezifische Wärme von Erdölen angeführt:

a) Labor-Bericht Oppau N° 926 v. Dr. Doepke.

Es gilt allgemein die Bezeichnung

$\chi \text{ cp} = \text{konstant}$,

außerdem

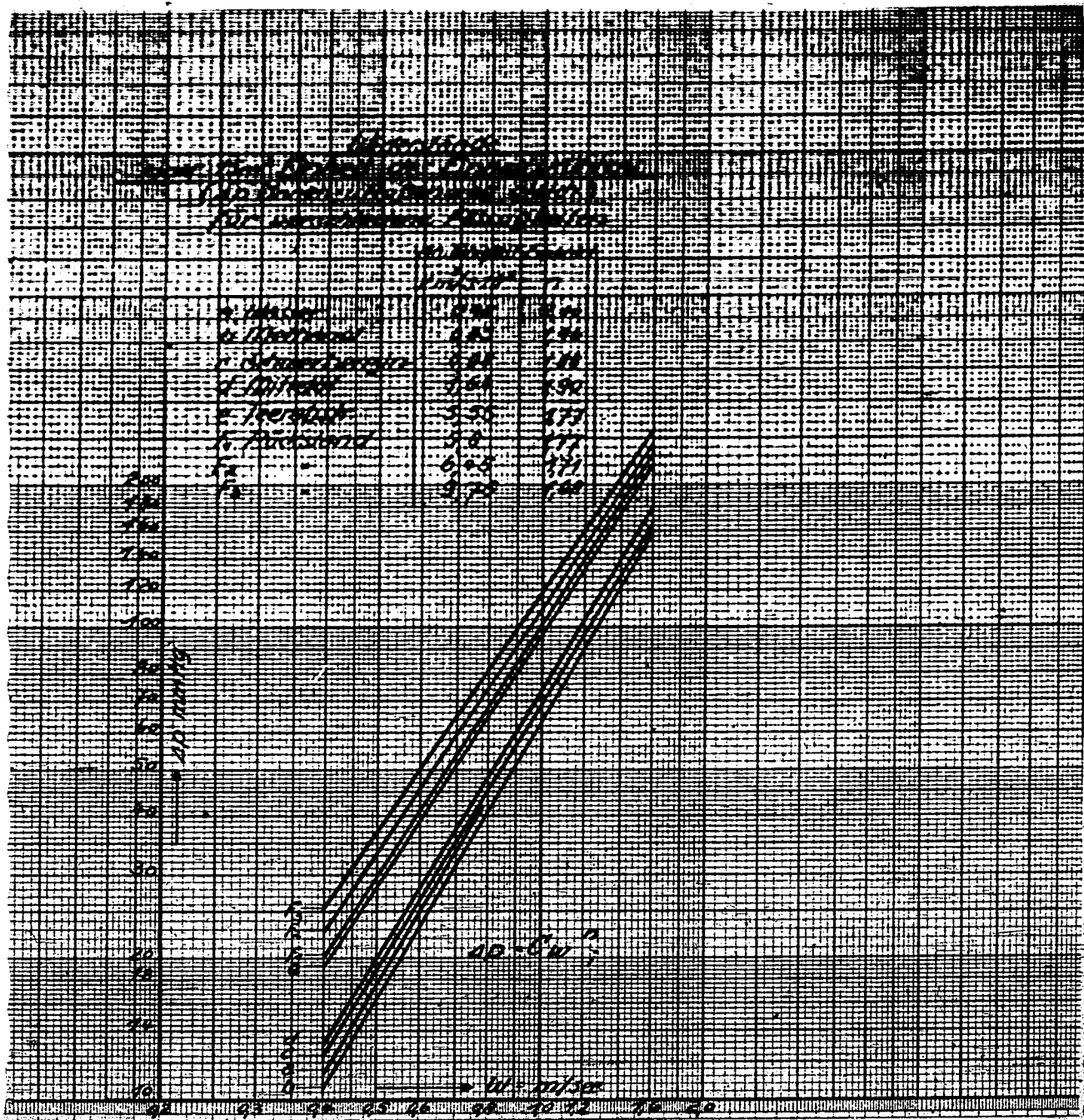
$\frac{\text{Heizwert}}{\text{cp}} = \text{konst.}$ (f. homologe Reihen).

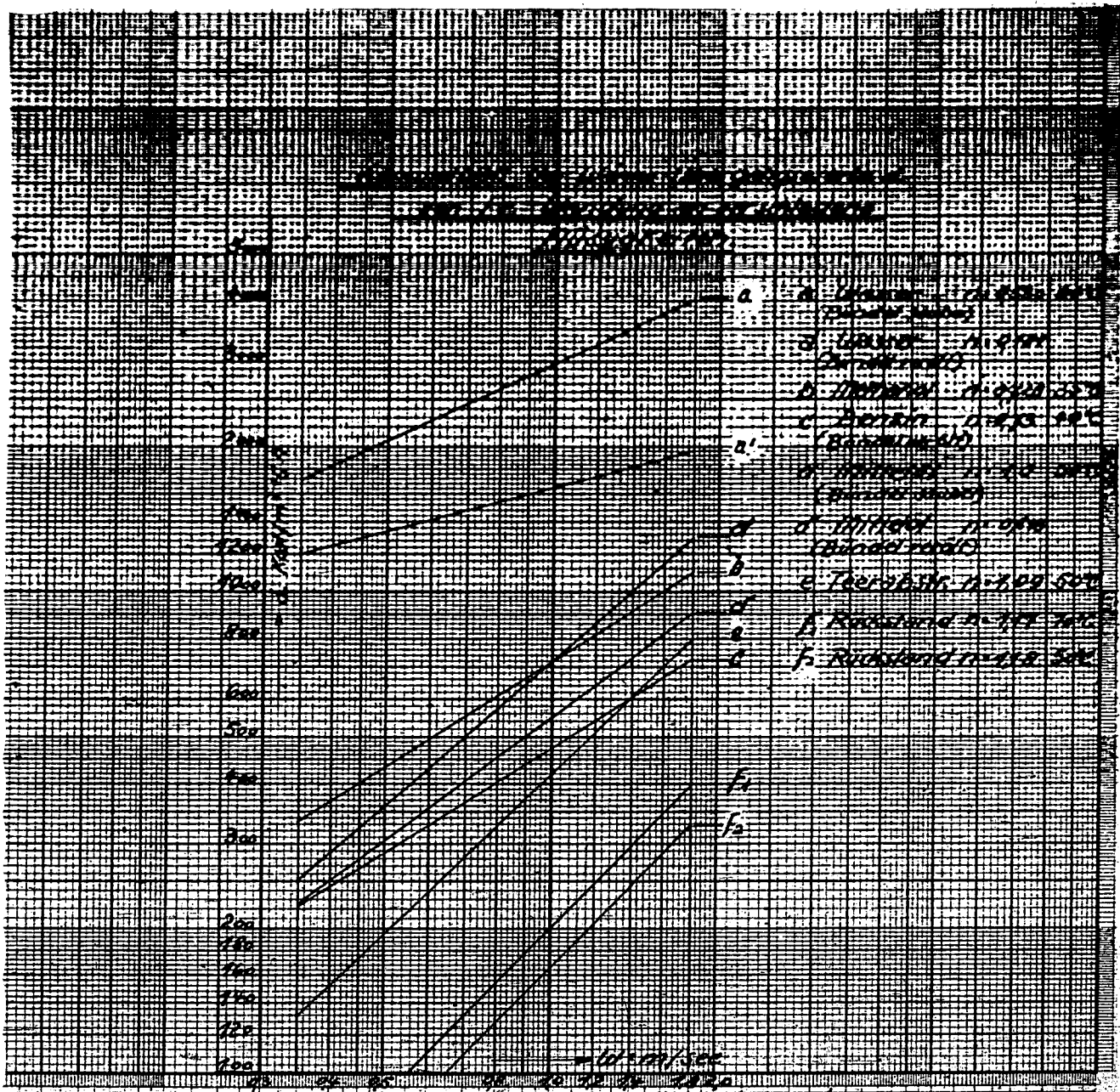
b) Mitteilungen des "Bureau of Standards, Heft 27:

für Erdöle gilt ca.

$$\text{cp} = \frac{31,6}{t} (0,403 + 0,00081 t^{\circ}\text{C})$$

in kg/cbm bei 15°C einzusetzen.





Teil III:

Kritische Betrachtung der gefundenen Widerstände - und
Wärmedurchgangszahlen zur Entwicklung eines allgemein gültigen Gesetzes.

Widerstände

In dem vorhergehenden Teil dieser Arbeit hat es sich neben der Bestimmung der Wärmedurchgangszahlen, in der Hauptsache darum gehandelt, den Widerstand des Apparates für die verschiedenen Medien zu finden, um Beziehungen zwischen Wärmedurchgang und aufgewandtem Energieverbrauch zur Überwindung des Druckverlustes zu erhalten.

In folgendem Abschnitt soll untersucht werden, ob sich eine Gesetzmäßigkeit der gefundenen Widerstände, wie sie das von Reynolds aufgestellte Ähnlichkeitsgesetz verlangt, bestätigt. Es wird dies zugleich eine Kontrolle über die Brauchbarkeit und Genaugigkeit der Messungen geben.

Die von Reynolds gefundene Erkenntnis besagt, daß zwei Strömungen nur dann einander ähnlich sind, wenn der für die gebildete dimensionslose Ausdruck $\frac{w}{d}$ denselben Zahlenwert besitzt (w bedeutet die kinematische Zähigkeit). Stellt man nun den in einer Rohrleitung auftretenden Druckabfall Δp durch die bekannte Gleichung

$$\Delta p = \lambda \frac{l}{d} \frac{w^2}{2g};$$

dar, so besagt dieselbe, daß der Druckabfall Δp proportional dem Staudruck $\frac{w^2}{2g}$, der Rohrlänge l und umgekehrt proportional

dem Rohrdurchmesser d ist und das der Widerstand außerdem von einem Koeffizienten abhängt, der sich als Funktion der Reynolds'schen Zahl und einem Rauigkeitsfaktor der begrenzenden Oberfläche darstellen lässt.

Die Größe des Widerstandskoeffizienten muss durch experimentelle Untersuchungen jeweils gefunden werden.

Es wurden deshalb zu den bei den einzelnen Median gefundenen Versuchswerten jeweils die dazugehörigen Widerstands- zahlen nach der Gleichung

$$\frac{A p}{w^2} = \frac{4 p}{w^2 \cdot C}$$

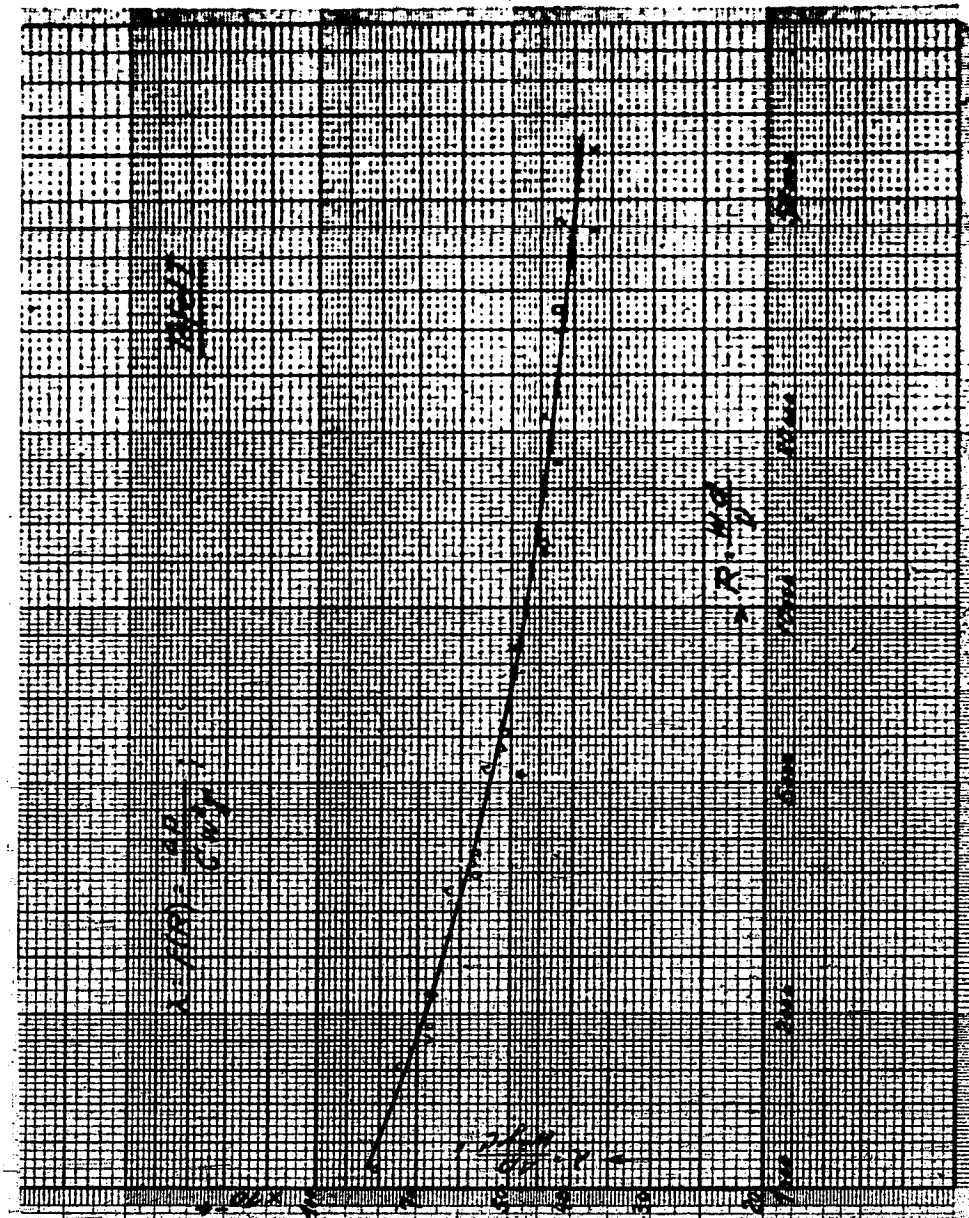
und die betreffende Reynolds'sche Zahl $R = \frac{w d}{\eta}$ ermittelt. Bei allen Berechnungen wurden hierbei die geometrischen Verhältnisse eines Bündelröhrechens des Kühlers eingesetzt.

In Tabelle I sind die errechneten Werte zusammengestellt und auf Tafel I in log. Koordinatensystem eingetragen.

Tabelle 3.

Medium	w m/s	$\frac{d}{\rho}$ m/kg	J kg/m³	$\gamma \times 10^6$ cm/s	$\frac{d}{\rho} \cdot \gamma$ $\times 10^4$ °C	$\frac{d}{\rho} \cdot \gamma$ $\times 10^{-3}$	$\frac{d}{\rho} \cdot \gamma$ $\times 10^4$ °C
Wasser	0,4 1,0 1,4	11,2 69 136	984	0,48	37,8 37,3 37,4	17,50 43,75 61,20	37,8 37,3 37,4
Methanol	0,4 1,0 1,4	10,6 64 124	800	0,65	44,1 42,4 42,2	12,95 32,40 45,40	43,1 42,4 42,6
Benzin	0,4 1,0 1,4	12,4 69 130	825	0,98	49,9 44,5 42,75	8,6 21,4 30,0	45,1 44,5 44,4
Mittelöl	0,4 1,0 1,4	13,0 74 140	891	1,64	48,5 44,3 42,6	5,13 12,8 17,95	44,7 44,3 44,2
Teerabstr.	0,5 1,0 1,6	28,5 97,0 225	903	5,55	67 57 51,8	1,895 3,780 6,050	56,9 57,0 57,5
Rückst. 70°C	0,5 1,0 1,6	29 100 232	930	5,8	66,3 57,1 51,6	1,810 3,620 5,790	56,2 57,1 57,5
Rückst. 65°C	0,5 1,0 1,6	23 109 245	934	6,45	75 62,2 54,6	1,630 3,260 5,210	61,5 62,2 62,4
Rückst. 50°C	0,5 1,0 1,6	36,5 118 261	946	9,75	82,4 66,4 57,5	3,075 2,150 3,450	66,4 66,4 66,8

20084



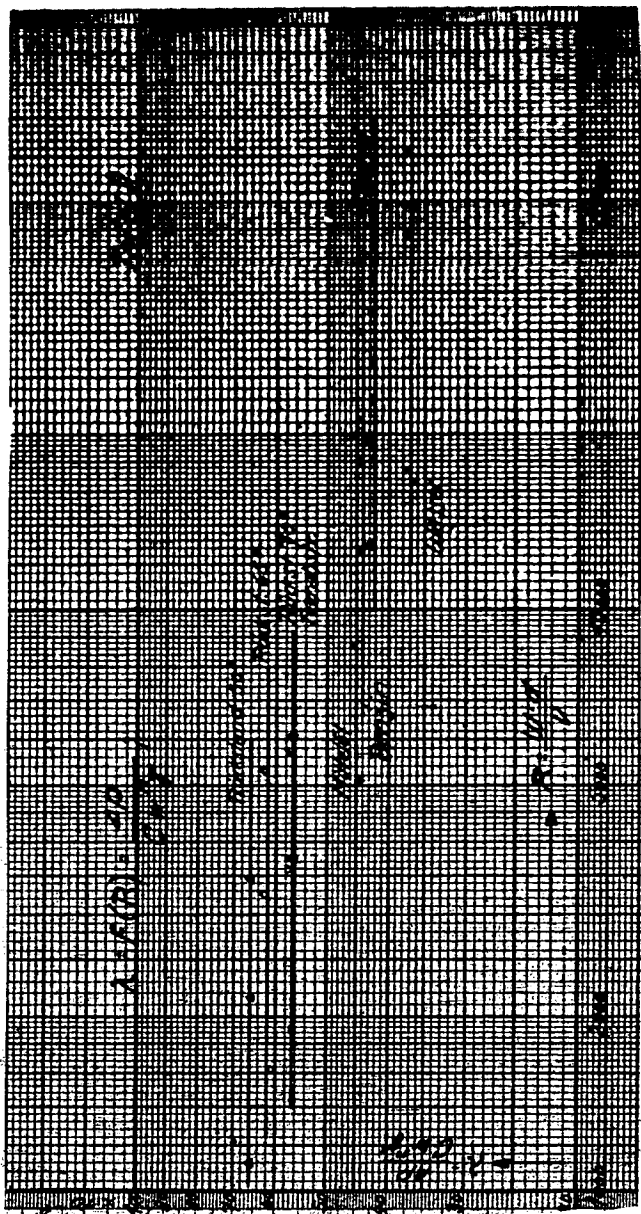
Vergleicht man die in Abhängigkeit von R gefundenen λ Werte mit denen verschiedener Forschungsarbeiten auf diesem Gebiet (s. Mitte, Jahrg. 25, S. 350 u.f.), so zeigt sich eine sehr gute Übereinstimmung. Daß die Werte dieser Arbeit etwas höher liegen, mag durch den Einfluß der Verbindungsstücke und Rohrböden herrühren, die ja in der Reynoldsschen Zahl unbücksichtigt bleiben mußten.

Wie aus dem Verlauf des Liniensuges auf Tafel I zu erssehen ist, läßt sich die Widerstandszahl λ nicht oder nur grob angenähert durch eine einfache Exponentialfunktion der Reynoldsschen Zahl ausdrücken. Um auf eine genaue, unabhängige Gleichung zur Berechnung des Druckverlustes zu kommen, sei die Gleichung

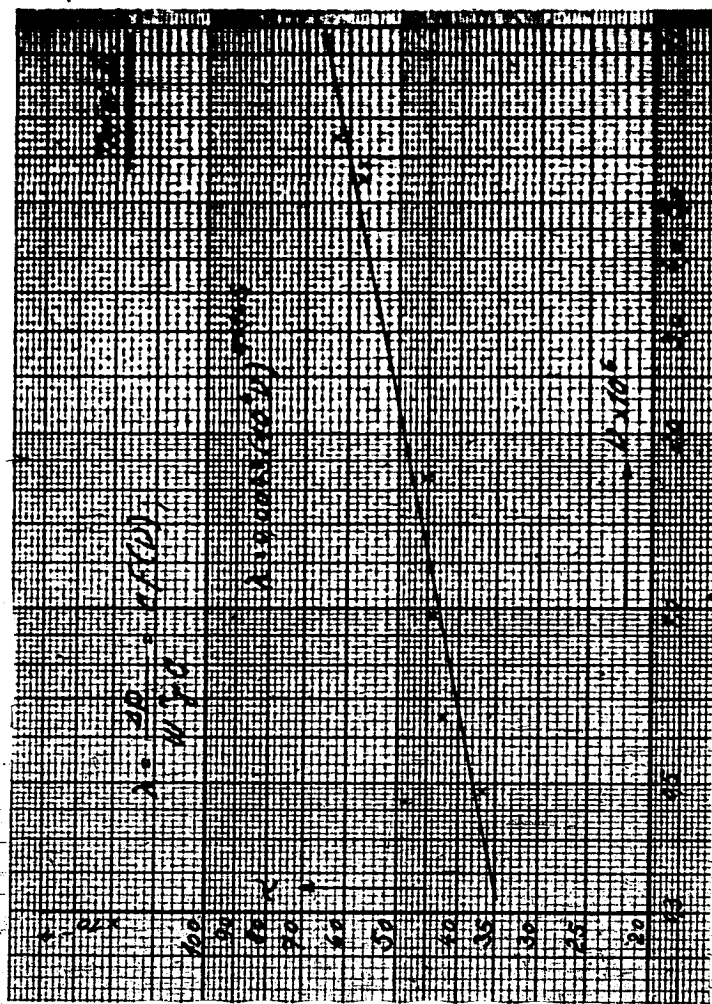
$$\Delta p = \lambda \frac{l}{d} \frac{w^2}{2g}$$

von der ausgegangen wurde, weiter zergliedert.

Die Versuche haben gezeigt, daß der Exponent der Geschwindigkeit für jedes Produkt ein anderer war.



20087





Auf Tafel II wurden deshalb in Abhängigkeit der Reynoldschen Zahl die λ -Werte getrennt nach verschiedenen Produkten aufgetragen und zwar unter Einsetzung der bei den Versuchen gefundenen Exponenten der Geschwindigkeit.

Man sieht an Hand der Tafel ohne weiteres, daß in diesem Fall keine Abhängigkeit der Widerstandszahl von der Reynoldschen Zahl festgestellt werden kann, daß aber deutlich die kinematische Zähigkeit ihren Einfluß auf die Rohreibungszahl auswirkt.

Trägt man, wie es auf Tafel III geschehen ist, die auf Tafel II für die einzelnen Produkte gefundenen Widerstandszahlen in Abhängigkeit ihrer kinematischen Zähigkeiten auf, so ergibt sich eine einfache exponentielle Abhängigkeit.

Endlich erkennt man an Hand der Tafel IV die Gesetzmäßigkeit der gefundenen Exponenten der Geschwindigkeit. Es wurde in Abhängigkeit der kinematischen Zähigkeit der jeweils gefundene Exponent aufgetragen.

Da nun auch diese Größe sich als eine Exponentialfunktion darstellt, sind hiermit alle Variablen der Widerstandsgleichung eindeutig erfaßt.

Die gefundene Gleichung schreibt sich damit in allgemeiner Form:

$$\Delta p = C f \left(\frac{v}{d} \right)^n \cdot \frac{1}{2 g} \cdot \frac{1}{d} \cdot w \cdot C f (\frac{v}{d})$$

oder mit den gefundenen Konstanten und Exponenten

$$\Delta p (\text{mm Hg}) = 0,0043 \left(10^6 \right) 0,1865 \frac{1}{2 g} \cdot \frac{1}{d} \cdot w \cdot 1,925 \left(10^6 \right) - 0,0554$$

dabei sind die Dimensionen aller rechtsstehenden Faktoren, m, kg sec. eingesetzt.

Vergleicht man die in dieser Arbeit gefundenen Geschwindigkeitsexponenten mit der von Blasius gefundenen Tatsache, daß im Gebiet höherer Reynoldsscher Zahlen bei glatten Rohren der Widerstand nicht im Quadrat, sondern mit der 1,75 Potenz der Geschwindigkeit wächst, daß aber die Abhängigkeit bei Rohren mit rauher Wand annähernd quadratisch ist, so ist der Schluß berechtigt, daß der Rauhigkeitsgrad der Rohre nicht konstant zu bleiben scheint, sondern vom Medium beeinflußt wird. Man kann sich vorstellen, daß die Unebenheiten der Rohroberfläche durch einen ruhenden Flüssigkeitsfilm, der sich je nach der Zähigkeit des betreffenden Mediums mehr oder minder stark ausbildet, in verschiedenem Maße geglättet werden; d.h. man nähert sich beim Durchsetzen von zähem Produkt den Widerstandsverhältnissen wie sie bei glattem Rohr herrschen.

20091

- 63 -

Die endgültige Klärung dieser Frage bedarf jedoch noch weiterer Untersuchungen und muß einer anderen Arbeit vorbehalten bleiben. Die Versuchsunterlagen sind in dieser Hinsicht zu wenig vollständig, da die Arbeit aus betrieblichen Gründen vorzeitig abgebrochen werden mußte.

Wärmeübergangszahl:

Bei der großen Rolle, die die Wärmeübergangsfragen in der Technik spielen, ist es erklärlich, daß schon viele Untersuchungen auf diesem Gebiet ausgeführt worden sind. So liegen besonders für den Wärmeübergang von Gasen und Dämpfen ausführliche Versuche vor. Es seien hier nur die Arbeiten von Gröber, Josse, Poensgen und Nusselt genannt. Nicht so zahlreich sind die Versuche mit Flüssigkeiten. Hier mögen die Arbeiten von Stanton, Sonnecken und Stender und als Neueste die von Barbach Erwähnung finden. Während die Arbeiten mit Gasen und Dämpfen bei den verschiedenen Forschern gut übereinstimmen, ist dies bei den Versuchen mit Flüssigkeiten nur relativ der Fall. Es fehlen insbesondere eindeutige Versuche, die mit zäheren Medien, z.B. mit verschiedenen Ölsorten durchgeführt worden sind.

In folgendem soll nun versucht werden, die Abhängigkeit und die physikalischen Zusammenhänge der in dieser Arbeit gefundenen Wärmeübergangszahlen für zähere Medien in einer allgemein gültigen Gleichung zu erfassen. Da, wie schon der Aufbau der in einschlägigen Forschungsarbeiten angeführten Gleichungen zeigt, zwischen Wärmeübergang und Widerstand eine enge Beziehung herrscht, sollen die hier gefundenen — Werte auf ganz analoge Weise wie die in vorhergehendem Kapitel behandelten Widerstandswerte geprüft werden.

Man muß sich jedoch darüber in klarem sein, daß die Zusammenhänge des Wärmeübergangs wesentlich komplizierter sind

als die des Widerstandes. Während zum Vergleich von Widerständen nur nötig ist das Strömungsbild, ausgedrückt durch die Reynolds'sche Zahl, zu kennen, muß, um die Beziehungen von Wärmeübergangszahlen zueinander zu erfassen, zum Strömungsbild auch das Temperaturfeld der Strömung bekannt sein. Analog der Reynolds'schen Zahl hat hier die Ähnlichkeitstheorie ebenfalls einen dimensionslosen Ausdruck $\frac{w}{d}$, die Pöletsche Zahl entwickelt ($a = \frac{c}{\lambda}$ und bedeutet die Temp. Leitfähigkeit). Die Theorie sagt aus, daß die Temperaturfelder zweier Strömungen nur dann ähnlich sind, wenn diese Zahl für beide Zustände die gleiche Größe hat, d.h. der Wärmeübergang ist sowohl eine Funktion der Reynoldsschen als auch der Pöletschen Zahl. Es müsten demnach, um auf diesem Weg zur Entwicklung einer allgemein gültigen Gleichung zu gelangen, Temperaturfeld und Strömungsverlauf in einem bestimmten Verhältnis zu einander stehen. Da dies jedoch nur bedingt vorausgesetzt werden darf, kommt man auf diese Weise für gewöhnlich zu keiner befriedigenden Lösung. Immerhin zeigt die Ähnlichkeitstheorie von welchen Variablen die Übergangszahl abhängig ist und dient als Wegweiser zur Aufstellung einer praktischen Beziehung die auch dem Betriebsmann nicht zu große Schwierigkeiten zur Auswertung bietet.

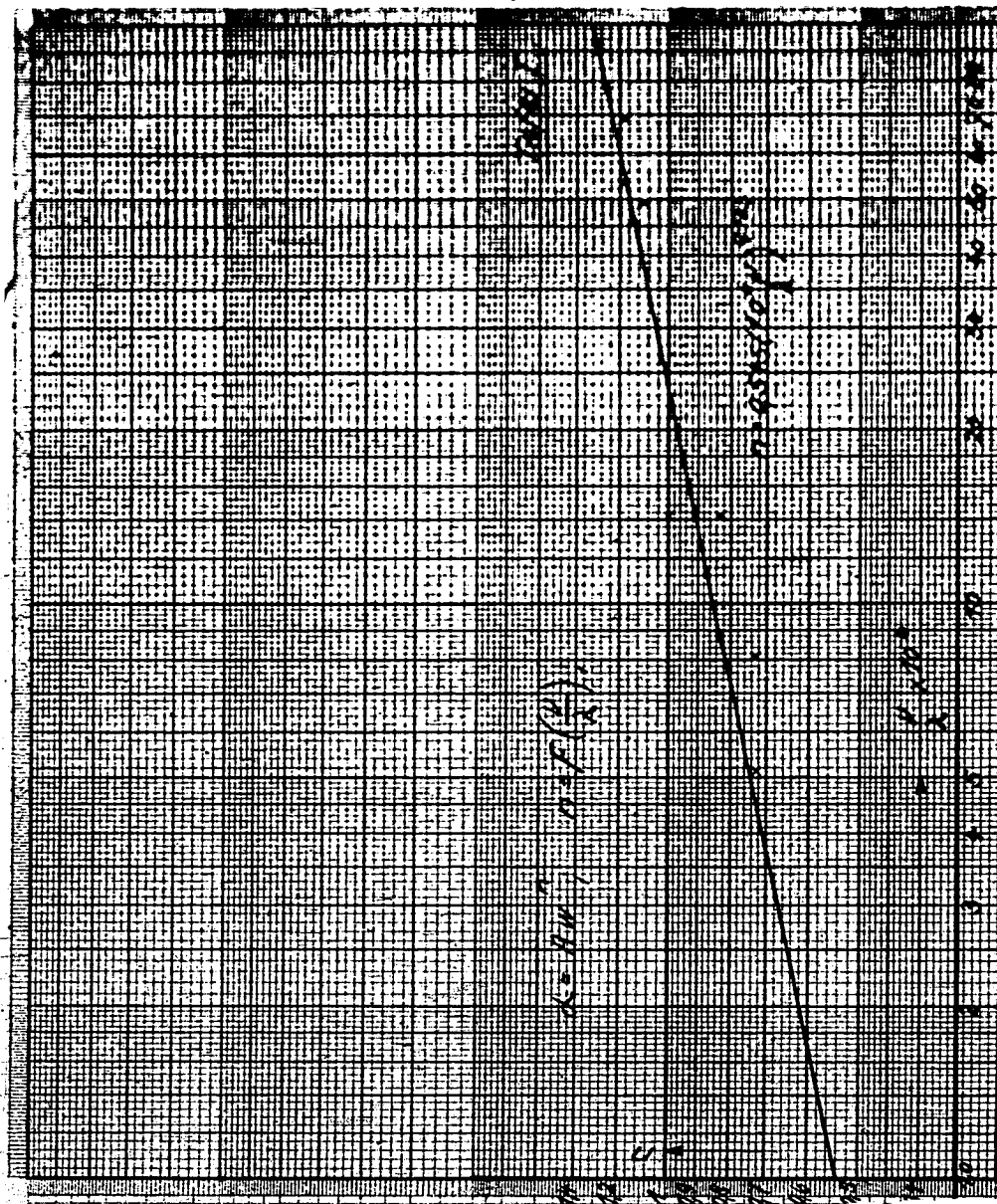
Die Wärmeübergangszahl ist demnach allgemein gesprochen von zwei Gruppen von Faktoren abhängig, von den physikalischen Eigenschaften des Mediums, c , und von den geometrischen Ausmaßen der umschließenden Apparatur ausgedrückt durch w, d, l .

zur Entwicklung der allgemeinen Gleichung gehen wir nun von der einfachen Exponentialfunktion aus

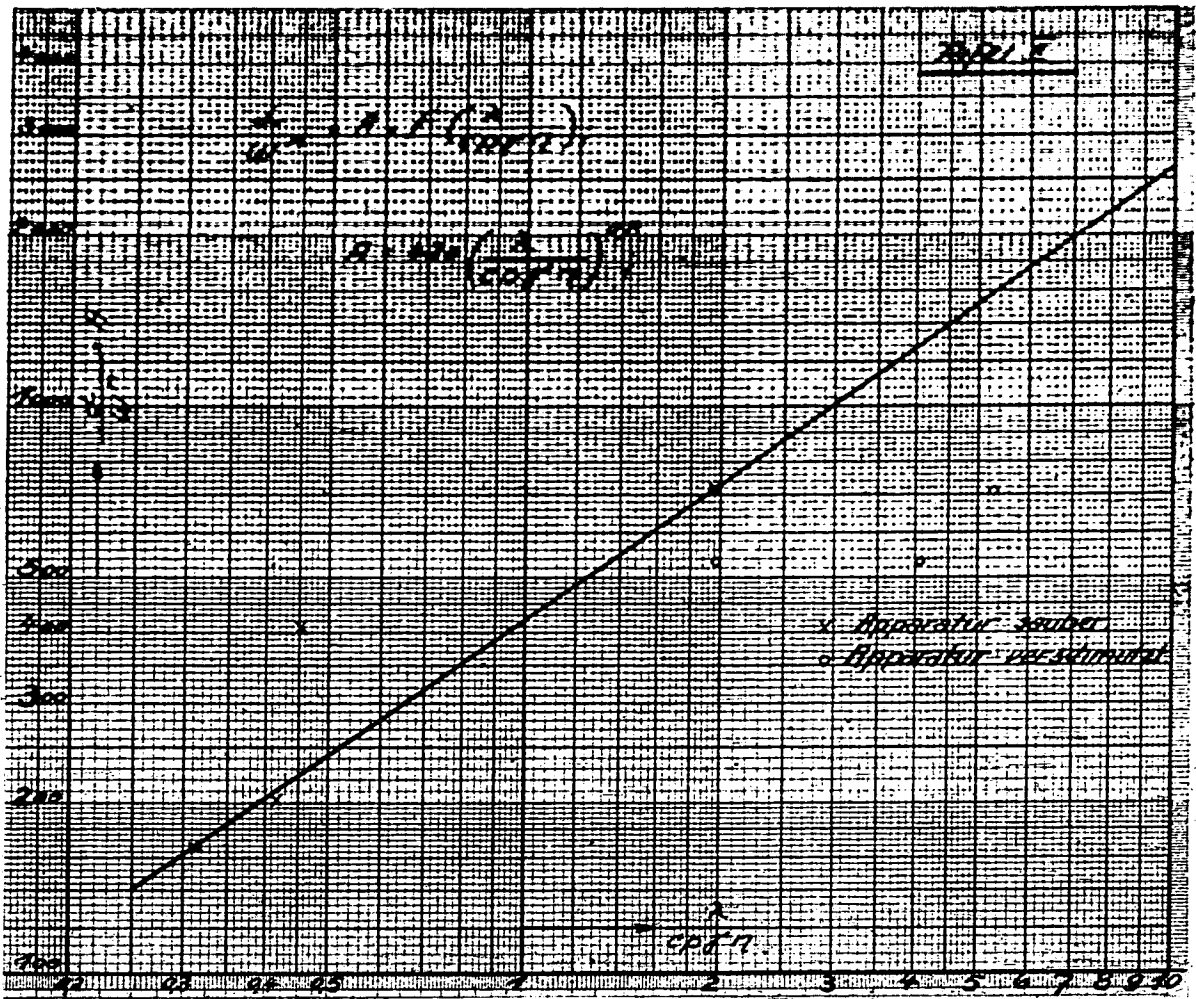
dabei bedeuten also A und n Variable und Funktionen der physikalischen Eigenschaften der Medien und der Apparatur. Auf Sammeltafel , Teil II, auf welcher für die untersuchten Flüssigkeiten abhängig von der Geschwindigkeit die gefundenen Δ -Werte in logarithmisches System eingetragen sind, ergeben sich die jeweiligen Werte für n und A getrennt nach Produkten. Betrachten wir den Geschwindigkeits-Exponenten n, so ergibt sich aus folgender Tabelle 1 Tafel I eine einfache exponentielle Abhängigkeit des Exponenten von der Wärmeleitfähigkeit und kinematische Zähigkeit des Mediums.

T a b e l l e I.

Medium	M/s	sau- ber	ver- schmutzt	$\frac{\text{kcal}}{\text{msh}^{\circ}\text{C}}$	$\frac{\text{kcal}}{\text{Kg}^{\circ}\text{C}}$	$\times 10^3$ $\frac{\text{qB}/\text{s}}{\text{m}^3}$	$\frac{\text{kg}}{\text{m}^3}$	10^3	$\frac{\text{m}}{\text{s}}$	sau- ber (ver- schmutzt)	$\frac{\text{cP}}{\text{m}}$
Wasser	1	2980	1640	0,562	1,0	0,48	984	48	0,85	0,53	11,9
Metha- nol	1	-	720	0,126	0,595	0,65	800	49	5,18	0,728	5,4
Benzin	1	-	475	0,122	0,429	0,98	825	83	6,02	0,73	4,16
Mittel- öl	1	720	540	0,1145	0,451	1,64	891	145	14,3	1,0 (0,848)	1,965
Abstr.	1	415	415	0,113	0,513	5,55	903	555	49,1	1,09	0,45
Rückst. 70° C	1	200		0,110	0,524	5,8	930	540	52,8	1,17	0,417
Rückst. 60° C	1	166		0,108	0,524	7,4	946	700	68,5	1,18	0,312



20097



Durch die in logarithmisches Koordinatensystem eingezeichneten Punkte lässt sich mühelos eine Gerade legen. Die Gleichung, von der ausgegangen wurde, lässt sich schon entwickelter schreiben.

$$= A_w \cdot (-) \quad \text{wobei } A \text{ noch eine zu findende Funktion von } \dots \text{ ist.}$$

Mit eingesetzten Größen:

$$= A_w \cdot 0,545 \cdot (10^6 \dots) 0,183.$$

Findet man nun noch eine Abhängigkeit von A, so ist damit eine gemeinsame Gleichung für verschiedene Flüssigkeiten zur Erreichung der Werte gefunden.

Auf Tafel II sind die für jedes Medium experimentell gefundenen A-Werte in Abhängigkeit von ($\frac{\eta}{\text{cp}}$) aufgetragen.

Betrachtet man die Punkte, die bei sauberer Apparatur gefunden wurden, so liegen sie mit Ausnahme eines Ausreißers, der wahrscheinlich auf ungenauer Bestimmung der Zähigkeit zurückzuführen ist, alle auf einer Geraden.

Auf die -Werte bei verschmutzter Apparatur soll nicht eingegangen werden, da sich der jeweilige Verschmutzungsgrad nicht feststellen ließ.

Die in dieser Arbeit gefundene Gleichung zur Berechnung der -Werte lautet demnach für Rohrdurchmesser $\varnothing = 0,021 \text{ m}$ und Rohrlänge $l = 8 \text{ m}$,

$$= 420 \cdot \left(\frac{\eta}{\text{cp}} \right)^{0,8} \cdot 0,545 \cdot (10^6 \dots) 0,183$$

In dieser Gleichung ist der Einflus der geometrischen Gestalt der das Medium umschließenden Wandung noch nicht enthalten. Um zu einer allgemein gültigen Gleichung zu gelangen, soll in folgendem die gefundene Beziehung nach der von Muscalt theoretisch aufgestellten Gleichung ergänzt werden. Muscalt findet, daß die Wärmeübergangszahl in der $(\frac{1}{d}, n)$ Funktion vom Durchmesser abhängt, wobei der Exponent n der gleiche wie der der Geschwindigkeitsexponent ist.

Überträgt man diese Grundlagen auf die in dieser Arbeit gefundene Gleichung unter Einsetzung eines mittleren Geschwindigkeitsexponenten von 0,8, so erhält man

$$= 194 \left(\frac{c_p}{d} \right)^{0.8} \cdot 0.545 \left(10^6 \right) \frac{\text{kcal}}{\text{m}^2 \text{OC h}} \quad \boxed{0.85}$$

dabei sind alle Größen in m, kg, h einzusetzen mit Ausnahme der Geschwindigkeit in m/sec.

Da diese Gleichung für den praktischen Gebrauch etwas kompliziert erscheint, wird in folgendem versucht, eine Gleichung zur Errechnung der Wärmeübergangswerte von Öl an Eisenwandung zu finden, die bei einfacher und handlicher Form noch genügende Genauigkeit besitzt.

Nach Veröffentlichungen von dem Bureau of Standards N 97 New York 1929 kann mit einer Genauigkeit von ca 5% für Erdöle gesetzt werden: (Die Formeln gelten für einen Temperaturbereich von 0 bis ca. 400°C).

$$\text{Wärmeleitfähigkeit } \frac{\text{kcal}}{\text{m}^2 \text{OC h}} = 101 (1 + 0.00054 t^{\circ}\text{C})$$

20100

- - -

$$\text{Spez. Wärme} \quad c_p \frac{\text{kcal}}{\text{kg} \cdot \text{°C}} = 31,6 \quad (0,403 : 0,00031 \text{ t°C})$$

das spez. Gewicht ist in kg/m^3 und bei 15°C einzusetzen.

Begnügt man sich zur Errechnung der Wärmeübergangszahlen von Öl an Rohre mit einem Genauigkeitsgrad von 10 %, so können diese beiden Gleichungen noch wesentlich vereinfacht werden. Für den Temperaturbereich von 0 bis 200°C und einen Genauigkeitsgrad von 10 % gelten die einfachen Beziehungen

$$= 96 \quad \frac{\text{kcal}}{\text{m}^2 \cdot \text{°C} \cdot \text{h}}$$

$$c_p = \frac{15,25}{0,5} \quad \frac{\text{kcal}}{\text{kg} \cdot \text{°C}}$$

Setzt man diese Größen in die in dieser Arbeit für den Wärmeübergang gefundenen Gleichung ein, so erhalten wir eine einfache Formel, die sich bei genügender Genauigkeit gut für den Betrieb eignet.

Es gilt also für Erdöle zwischen 0 und 200°C bei einem Genauigkeitsgrad von 10 % die Beziehung:

$$\boxed{\frac{\kappa \frac{\text{kcal}}{\text{m}^2 \cdot \text{°C} \cdot \text{h}}}{= 0,240} \cdot \left(\frac{1}{l}\right)^{1,2} \cdot \left(\frac{1}{d}\right)^{0,8} \cdot w \cdot 0,36 \cdot 10^6 \cdot 0,183}$$

darin ist:

Spez. Gewicht kg/ltr.

Zähigkeit $\frac{\text{kg/sec.}}{\text{qm}}$

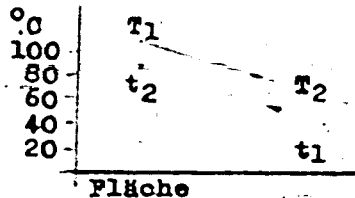
Geschwindigkeit m/s ,

Rohrdurchmesser m .

Zum Beispiel:

Mit Hilfe von Einheitskühlern sollen 55 cbm Mittelloöl an 79 °C Abstreiferöl stündlich aufgewärmt werden.

Das Temperaturbild des Wärmeaustauschers soll sich wie folgt darstellen:



Eingang 100 —— 50°C Ausgang

Ausgang 85 ←— 20°C Eingang

Mittl.Temp.Differenz $\Delta t = 21,5^\circ C$.

Es ist zu bestimmen:

a) für reine Serien-Schaltung der Einheiten

b) für Parallelschaltung von je 2 Einheiten

1.) Wieviel Regenerationsfläche und Einheiten des Kühlers sind erforderlich?

2.) Welcher Widerstand ist auf beiden Wegen zu überwinden? (Abstreiferprodukt geht um das Bündel, das Mittelloöl durch das Bündel).

Zur Lösung dieser Fragen müssen zunächst die physikalischen Größen der Öle und die jeweilige Geschwindigkeit ermittelt werden. Zur Bestimmung dienen die Tafeln III und IV,

Teil I.

20102

	Mittl. Temp. °C	Spec. Gew. kg/m³	Abs. Dampf- keit x10⁶	Kinet. Fähigkeit x 10⁶	Spec. Wärme Wärme	Geschwindig- keit m/s	Geschwind. m/s bei Paral- lel-Schal- tung.
Mittelöl	52,5	886	136	1,5	0,476	1,58	0,79
Abstreiferöl	75	892	425	4,66	0,49	1,52	0,76

Die abzuführende Wärmemenge beträgt nach der Gleichung:

$$\frac{\text{kcal}}{\text{h}} = \frac{\pi}{H} n^2 (\delta_1) \cdot \rho p \cdot (t_2 - t_1)$$

$$\frac{\text{kcal}}{\text{h}} = 55 \cdot \frac{\pi}{H} 0,476 \cdot 65 = 1.510.000 \frac{\text{kcal}}{\text{h}}$$

Mit Hilfe der gefundenen Gleichungen bzw. durch Linienzung auf den am Schlusse dieser Arbeit aufgestellten Diagrammtafeln A und B ergeben sich die Wärmeübergangszahlen und Widerstände

a) für Serienschaltung:

	Wärme- übergang	Widerstand pro Einheit m/m Hg	Wärmedurchgangszahl K
Mittelöl	1120	180	350
Abstreiferöl	510	200	

Die benötigte Heizfläche errechnet sich nach Gleichung

$$F_{qm} = \frac{Q}{\lambda \cdot t} \quad t = \text{mittl. Temperaturdifferenz}$$

20103

$$F \text{ qm} = \frac{1510000}{21,5 \cdot 350} = 200 \text{ qm.}$$

Es sind zu dieser geforderten Wärmeleistung nötig:

13 Einheiten ($\Delta 15 \text{ qm}$) des Kühlers,
der Gesamtwiderstand beträgt :

Innen: 3,2 at

Außen: 3,55 at,

b) für Parallelschaltung.

	Wärmeübergang	Widerstand pro Einheit mm Hg	Wärmedurchgangszahl K
Mittelöl	590	45	170
Abstreiferöl	240	52	

$$F \text{ qm} = \frac{1500000}{21,5 \cdot 170} = 410 \text{ qm.}$$

Es sind zu dieser geforderten Wärmeleistung nötig :

2 x 14 Einheiten ($\Delta 15 \text{ qm}$) des Kühlers,
der Gesamtwiderstand beträgt :

Innen: 0,86 at

Außen: 0,99 at.

Zusammenfassung.Einführung:

Bei den Rundelkuhern und Regeneratoren, wie sie z. Bt. sehr häufig zur Abkühlung und Aufwärmung von Ölen im Gebrauch sind, herrschen infolge ihrer kurzen Bauart und großen Durchtrittsquerflächen recht geringe Geschwindigkeiten. Die Wärmeübergangszahlen sind deshalb sehr klein und die Heizfläche darf sehr oft ausgedehnt werden.

Teil I:

Es wurde auch ein neuer Wärmeaustauscher entworfen, auf dessen konstruktive Merkmale dieser Abschnitt eingehend eingehen wird. Es werden die baulichen sowie die wärmetechnischen Vorteile angeführt. Außerdem wird die Versuchsausrüstung, die zur Untersuchung der Neukonstruktion auf Widerstand und Wärmeübergang hier aufgestellt wurde, beschrieben.

Teil II:

Die Versuchsergebnisse werden nach Medien geordnet tabellarisch und kurvenmäßig gebracht und in zwei Sammelblättern zusammengestellt.

Im noch geringeren Maße wie das Kapitel über die Zusammenhänge der gefundenen Widerstände kann der Abschnitt, der die Verhältnisse der Wärmeübergangsgrößen von zähnen Medien an Wandung zu erfassen sucht, als abgeschlossen gelten.

Wenn auch die Versuchsergebnisse trotz der verhältnismäßig groben Meßgeräte eine überraschend gute Übereinstimmung

ergaben und deshalb als genügend genau erachtet werden können, so fehlt dieser Arbeit vor allem, daß die Versuche nicht auf verschiedene Rohrdimensionen und Rohr-Materialien ausgedehnt wurden. Dieser Mangel erklärt sich daraus, daß die Versuche lediglich zur betrieblichen Orientierung an der Neukonstruktion gedacht sind, um bei Verwendung dieses Apparates Berechnungsgrundlagen zu besitzen. Bei Beurteilung der gefundenen Werte darf deshalb dieser Umstand, der eine gewisse Toleranz im Hinblick auf die Genauigkeit der Arbeit in sich schließt, nicht außer Acht gelassen werden. Die Aufstellung einer allgemeinen Beziehung konnte deshalb nur unter Heranziehung ähnlicher Arbeiten und Versuche erreicht werden und ist durch Versuch nicht belegt.

Während also die Werte und Gleichungen speziell für den Einheitskübler als genügend genau angesehen werden können, ist dies bei den verallgemeinerten Gleichungen nur bedingt der Fall und es ist Aufgabe einer weiteren Arbeit, diese allgemeinen Beziehungen praktisch zu bestätigen. Besonders fördernd dürfte die Heranziehung und Weiterentwicklung der Grenzschicht-Theorie wirken, da bereits in dieser Arbeit viele Beobachtungen auf den großen Einfluß eines sich mehr oder minder stark bildenden Flüssigkeitsfilms auf die Wärmeübergangszahl bei zähen Medien hinweisen. Immerhin werden auch die allgemein gehaltenen Gleichungen für die Praxis gute Dienste tun und in den meisten Fällen genügend genau sein.

Teil III:

Unter Heranziehung ähnlicher Arbeiten wurde versucht, die physikalischen Zusammenhänge der gemessenen Werte zu finden. Es

20106

- 6 -

wurden die Ergebnisse der Arbeit in zwei Gleichungen und zwei Diagrammtafeln zusammengefaßt.

(a) Allgemeine Gleichung zur Errechnung von Rohrwiderständen bei Öldurchsatz.

$$p \text{ (mm Hg)} = 0,0043 \cdot (10^6) \cdot 0,1865 \cdot \frac{1}{2} \cdot \frac{w}{g} \cdot \frac{1}{d} \cdot 1,925 \cdot (10^6) \cdot -0,0556$$

(a') Spezielle Widerstandsgleichung für eine 15 qm-Einheit des Gruppenkühlers.

$$p \text{ mm Hg} = 0,081 \cdot (10^6) \cdot 0,1865 \cdot w \cdot 1,925 \cdot (10^6) \cdot -0,0556$$

In Gleichung a) und a') ist $\frac{1}{2} \cdot \frac{w}{g} \cdot \frac{1}{d}$ in kg/cbm, w in m/s, in qm/s einzusetzen. Mit Hilfe der Gleichung a') ist die Diagrammtafel A zur Ermittlung der Widerstände der 15 qm - Einheit entworfen.

(b) Allgemeine Gleichung zur Bestimmung des Wärmeüberganges von Ölen an Eisenrohre normaler Rauhigkeit.

$$\frac{k_{cal}}{\text{qm} \cdot ^\circ\text{C} \cdot \text{h}} = 194 \cdot \left(\frac{1}{c} \right) 0,8 \cdot \frac{w}{0,546 \cdot (10^6)} \cdot 0,183 \cdot \frac{1}{d} \cdot 0,2$$

(b') Näherungsgleichung für den Wärmeübergang von Öl an Rohre

$$\frac{k_{cal}}{\text{qm} \cdot ^\circ\text{C} \cdot \text{h}} = 0,24 \cdot \left(\frac{1}{c} \right)^{1,2} \cdot \left(\frac{1}{d} \right)^{0,8} \cdot w \cdot 0,36 \cdot (10^6) \cdot 0,183$$

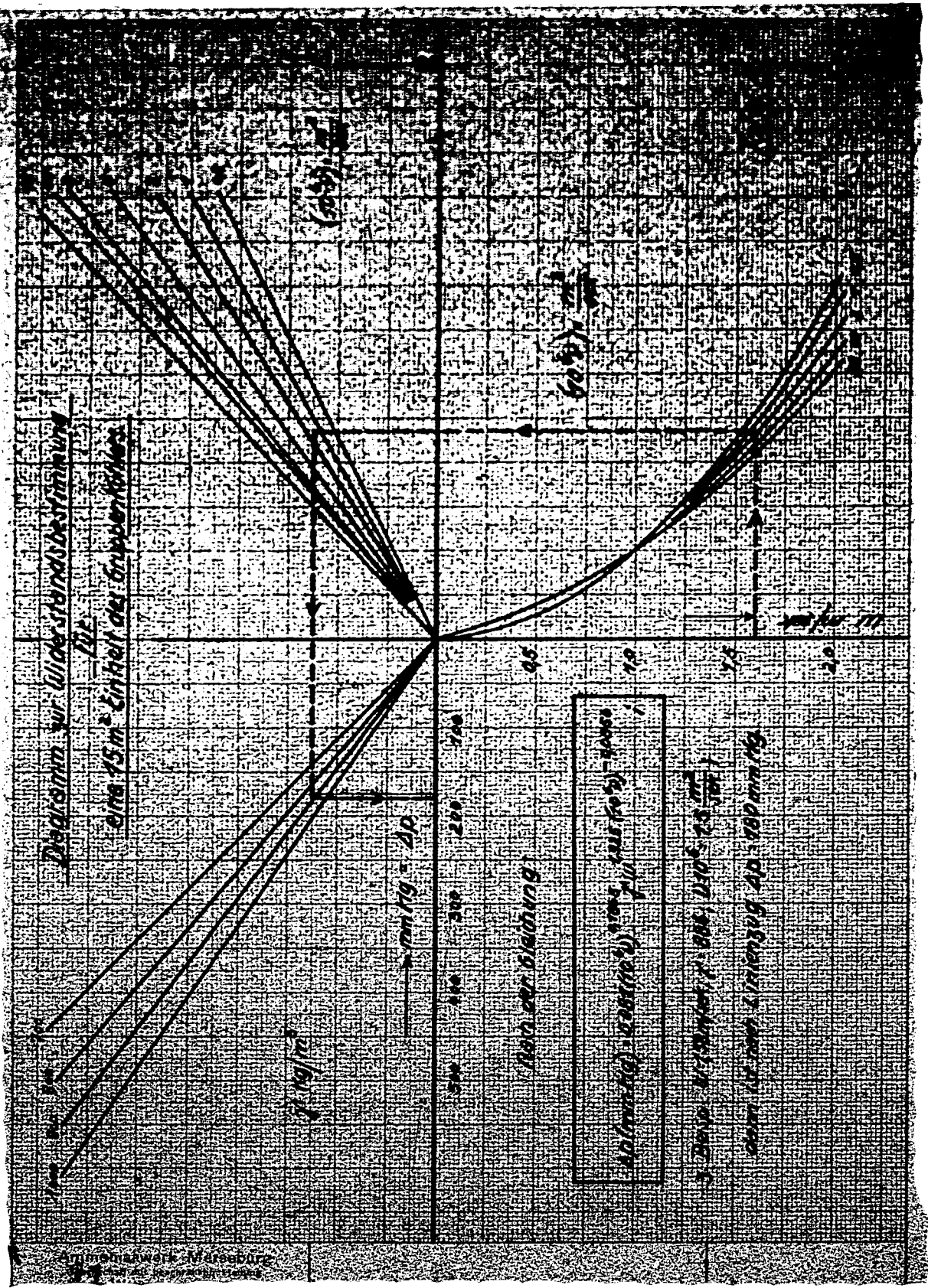
20107

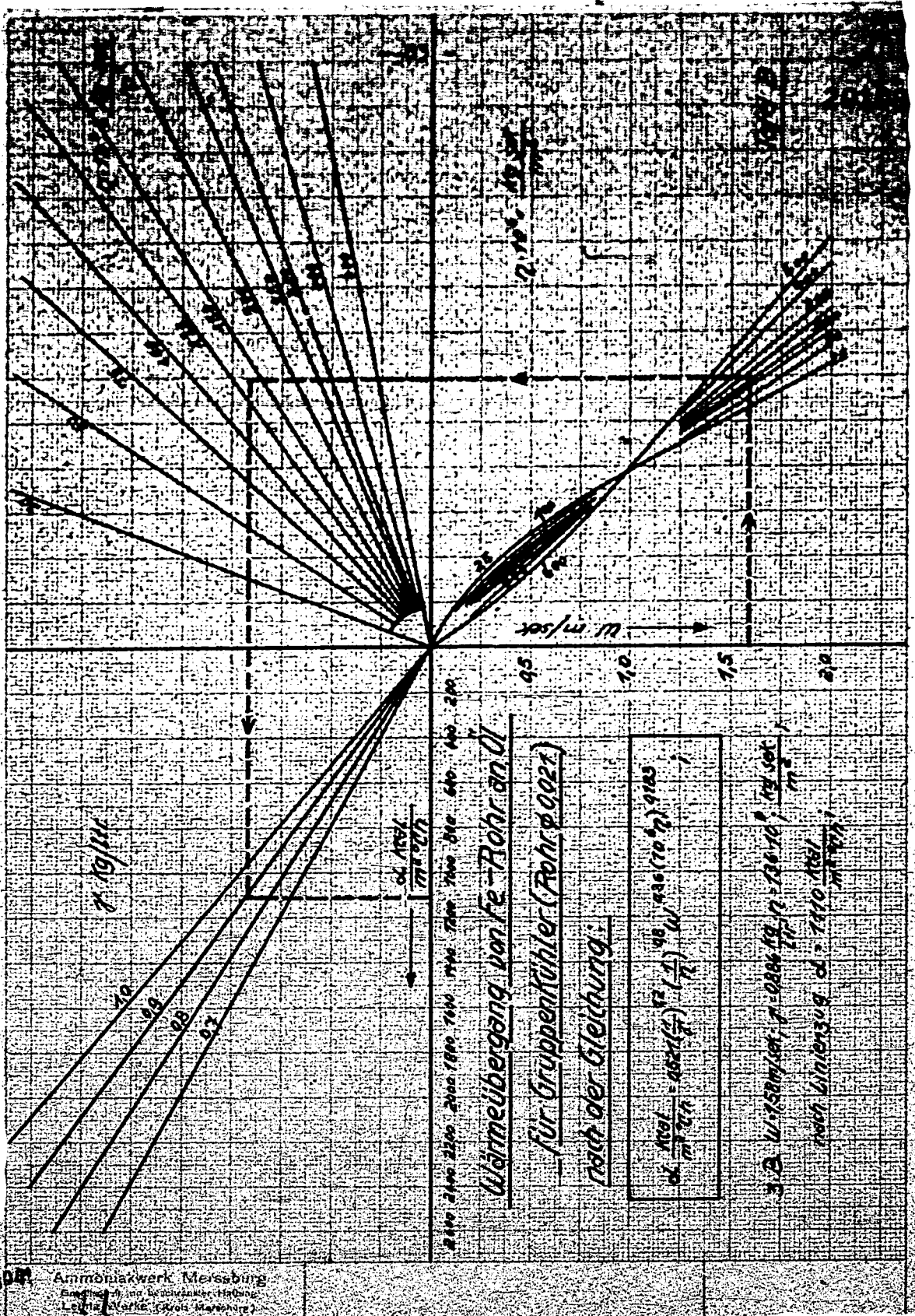
- 81 -

(b) Spezielle Gleichung des Wärmeübergangs von Öl an Eisenwandung für einen Gruppenkühler

$$- \frac{k_{\text{cal}}}{\text{qm}^{\circ}\text{C h}} = 0,521 \left(\frac{l}{d} \right) 1,2 \left(\frac{l}{d} \right)^{0,8} w^{0,36} (10^6) ^{0,183}$$

In Gleichung b), b') und b'') ist $\frac{k_{\text{cal}}}{\text{qm}^{\circ}\text{C h}}$ in kg/l , l in kg sec , w in m/s und d in m einzutragen. Mit Hilfe der Gleichung b'') ist eine Diagrammtafel B aufgestellt, auf der sich die Wärmeübergangszahl für den Gruppenkühler ohne weiteres ablesen lässt.





20110

- 8 -

Benutzte Literatur.

Hütte: Band 1, 25. Auflage.

Nusselt: Der Wärmeübergang in Rohrleitungen,
Mitteilungen über Forschungsarbeiten auf dem Gebiet
des Ingenieurwesens, Heft 89.

Soennecken: Der Wärmeübergang von Rohrwänden an strömendes Wasser.
Mitteilungen über Forschungsarbeiten auf dem Gebiet
des Ingenieurwesens, Heft 108 und 109.

Merkel: Die Grundlagen der Wärmeübertragung.

Physikalische Tabellen von Landolt-Börnstein.

Miscellaneous Publication of Bureau of Standards N 97, Nov.29.

Schack: Der industrielle Wärmeübergang für Praxis und Studium.

Burbach & Hermann:

Strömungswiderstand und Wärmeübergang in Rohren.